

Instituto Tecnológico de Buenos Aires
Departamento de Ing Mecánica y Naval.



MECÁNICA DE FLUIDOS

NOTAS DE CLASE

Dr Roberto Eduardo Vieytes

1C 2019

Estas notas fueron compuestas con la ayuda de \LaTeX TiKZ y KOMA-Script



Licenciado bajo *creative common*. Esta licencia permite a otros distribuir, remezclar, retocar, y crear a partir de ésta obra de modo no comercial, siempre y cuando se acrediten los créditos y licencien sus nuevas creaciones bajo las mismas condiciones.

Una oportunidad que deben tener los seres humanos es la de elegir quien ser, independientemente que esa elección este a favor o en contra de la corriente. Van estas páginas dedicadas a quienes dejan al otro elegir libremente, y por sobre todas las cosas a quienes tienen la valentía de elegir.

A Lucía y Roberto que me dieron la libertad de poder elegir.

ÍNDICE GENERAL

1. XXX	1
1.1. Granularidad de la materia	1
1.2. Estados de agregación de la materia	3
1.3. Diferencias macroscópicas entre Sólidos, líquidos y gases	4
1.3.1. Líquidos y gases	5
1.4. La hipótesis del continuo	6
1.5. Propiedades básicas de los fluidos	9
1.5.1. Campo de tensiones en un fluido	9
1.5.2. Tensión superficial	11
1.5.3. Presión de vapor	11
1.6. XXX	11
Apéndices	11
1A.I. Fuerzas inter-moleculares y estados de agregación de la materia	11
1A.II. Presión y viscosidad desde el punto de vista microscópico	13
1.6.1. Presión	13
1.6.2. Viscosidad	15
Referencias y bibliografía	15
2. XXX	17
2.1. Descripción de un flujo	18
2.1.1. Descripción Lagrangeana	18
2.1.2. Descripción Euleriana	18
2.2. La Derivada Material	18
2.3. Sistema y Volumen de control	18
2.3.1. Propiedades intensivas y extensivas de un sistema	18
Referencias y bibliografía	18
3. ANÁLISIS DIMENSIONAL Y SEMEJANZA	19
3.1. Una introducción teatralizada	20
3.2. Análisis dimensional	21
3.2.1. Dimensión de una magnitud	22

3.3. Análisis Dimensional y análisis inspeccional	24
3.3.1. Teorema Π de Buckingham (1914). Análisis dimensional.	24
3.4. Aplicaciones del AD	25
3.5. Método inspeccional	41
3.6. Teoría de modelos y semejanza	46
3.6.1. Aplicaciones de semejanza	47
Apéndices	51
3A.I. Análisis dimensional discriminado	51
3A.II. Soluciones autosimilares	51
4. ECUACIONES EN FORMA LOCAL	53
4.1. Ecuación de la continuidad	54
4.2. Ecuación de movimiento del elemento de fluido	57
4.2.1. Esfuerzos en el seno de un fluido	58
4.2.2. Ecuación de Navier–Stokes	63
4.2.3. Ecuación para la presión	64
4.3. Ecuación de la energía	64
4.3.1. Ecuación de la energía cinética	65
4.3.2. Ecuación de la energía mecánica	65
4.4. Ecuación de la energía total	66
4.4.1. Ecuación de la energía total	68
4.4.2. Ecuación para la energía interna	68
4.5. Condiciones iniciales y de contorno	69
4.5.1. Condiciones iniciales	69
4.5.2. Condiciones de contorno	69
Apéndices	78
4A.I. Ecuaciones de Navier–Stokes en otros sistemas de coordenadas	78
4A.II. Ecuación de Euler y ecuaciones de Bernoulli	80
4A.III. Otras ecuaciones de Bernoulli	82
4A.IV. La disipación viscosa. Función disipación.	82
4A.V. Otras formas de la ecuación de la energía	83
Referencias y bibliografía	83
5. PROBLEMAS DE APLICACIÓN	85
5.1. Flujos estacionarios e isotérmicos sin disipación.	87
5.1.1. Flujos en geometría plana	88
5.1.2. Flujos en geometría cilíndrica	96
5.1.3. Flujo helicoidal	107

5.2. Flujos con Interfases ¹	109
5.2.1. Película delgada cayendo por un plano inclinado	111
5.2.2. Flujo de Couette–Poiseuille estratificado	114
5.2.3. Flujo de Poiseuille estratificado	116
5.2.4. Película delgada cayendo por un plano inclinado	116
5.2.5. Película delgada cayendo axialmente por el exterior de un cilindro	117
5.2.6. Flujo coaxial cilíndrico estratificado	117
5.3. Flujos con deslizamiento	117
5.3.1. Flujo de Couette–Poiseuille con deslizamiento (“ <i>slip</i> ”)	117
5.3.2. Flujo de Poiseuille con deslizamiento.	119
5.4. Flujos No estacionarios	123
5.4.1. Primer problema de Stokes: Plano que arranca súbitamente . .	123
5.4.2. Segundo Problema de Stokes: Plano oscilante en contacto con un fluido semi-infinito	124
5.4.3. Transitorio de un flujo isotérmico de Couette–Poiseuille con ve- locidad de placa y gradiente de presión constante	128
5.4.4. flujos Poiseuille con gradiente de presión pulsantes.	131
5.5. Flujos con disipación.	132
5.5.1. Flujo de Couette–Poiseuille con disipación.	132
Apéndices	136
5A.I. Fijos de fluidos no Newtonianos	136
5A.II. Teoría de la lubricación	136
5A.III. Difusión del calor en medios sólidos unidimensionales	140
5A.IV. Convección natural entre dos placas verticales calentadas dife- rencialmente.	140
Referencias y bibliografía	140

¹También se conoce estos flujos como multifásicos

5

PROBLEMAS DE APLICACIÓN

Dar ejemplos no es la principal manera de influir sobre los demás. Es la única manera

(Albert Einstein)

Contenido

5.1. Flujos estacionarios e isotérmicos sin disipación.	87
5.1.1. Flujos en geometría plana	88
(a). Flujos de Couette–Poiseuille	88
(b). Análisis del flujo de Couette–Poiseuille	93
5.1.2. Flujos en geometría cilíndrica	96
(a). Flujo de Couette–Taylor	97
(b). Flujo de Poiseuille	104
5.1.3. Flujo helicoidal	107
(a). Análisis del flujo helicoidal	109
5.2. Flujos con Interfases¹	109
5.2.1. Película delgada cayendo por un plano inclinado	111
5.2.2. Flujo de Couette–Poiseuille estratificado	114
(a). Análisis del flujo estratificado	116
5.2.3. Flujo de Poiseuille estratificado	116
5.2.4. Película delgada cayendo por un plano inclinado	116
5.2.5. Película delgada cayendo axialmente por el exterior de un cilindro	117
5.2.6. Flujo coaxial cilíndrico estratificado	117
5.3. Flujos con deslizamiento	117
5.3.1. Flujo de Couette–Poiseuille con deslizamiento (“slip”)	117
5.3.2. Flujo de Poiseuille con deslizamiento.	119
(a). Determinación de la longitud de deslizamiento para el modelo de deslizamiento de Navier	120
(b). Flujo de Poiseuille con deslizamiento con límite de fluencia.	120

¹También se conoce estos flujos como multifásicos

2243	5.4. Flujos No estacionarios	123
2244	5.4.1. Primer problema de Stokes: Plano que arranca súbitamente	123
2245	(a). Análisis	124
2246	5.4.2. Segundo Problema de Stokes: Plano oscilante en contacto con un fluido	
2247	semi-infinito	124
2248	(a). Análisis del flujo	125
2249	5.4.3. Transitorio de un flujo isotérmico de Couette-Poiseuille con velocidad	
2250	de placa y gradiente de presión contante	128
2251	(a). Análisis del flujo transitorio	131
2252	5.4.4. flujos Poiseuille con gradiente de presión pulsantes.	131
2253	5.5. Flujos con disipación.	132
2254	5.5.1. Flujo de Couette-Poiseuille con disipación.	132
2255	Apéndices	136
2256	5A.I. Fijos de fluidos no Newtonianos	136
2257	(a). Flujo isotérmico de una película fluida sobre un plano inclina-	
2258	do para un fluido con reología ley de potencias	136
2259	(b). Flujo isotérmico de Hagen-Poiseuille para una reología ley de	
2260	potencias	136
2261	5A.II. Teoría de la lubricación	136
2262	(a). Adimensionalización de las ecuaciones	138
2263	5A.III. Difusión del calor en medios sólidos unidimensionales	140
2264	5A.IV. Convección natural entre dos placas verticales calentadas diferencial-	
2265	mente.	140
2266	Referencias y bibliografía	140
2267		
2268		
2269		

2270 En este capítulo aplicaremos las ecuaciones en forma local encontradas en el capí-
 2271 tulo a casos elementales para poder conocer el comportamiento de los fluidos. Co-
 2272 menzaremos estudiando casos estacionarios, es decir casos en que la derivada local
 2273 es nula, para fluidos en régimen laminar y en geometrías sencillas. Comenzaremos
 2274 por casos puramente mecánicos en los cuales no habrá cambio de temperatura del
 2275 fluido (fluidos isotérmicos) en los cuales la disipación viscosa será despreciable pa-
 2276 ra luego considerar cambios de la temperatura por efecto de la conducción térmica
 2277 o la compresibilidad.

2278 Las soluciones las buscaremos tanto con las condiciones de contorno que corres-
 2279 ponden para flujos macroscópicos (no deslizamiento, y sin saltos de temperatura)
 2280 como para microscópicos.

2281 Se deberán resolver simultaneamente la ecuación de la conservación de la ma-
2282 sa, (continuidad (4.2)) la de conservación de la cantidad de movimiento (Navier-
2283 Stokes (4.6)) y la de la energía (4.21)

2284 **5.1. FLUJOS ESTACIONARIOS E ISOTÉRMICOS SIN** 2285 **DISIPACIÓN.**

2286 En esta sección estudiaremos flujos para los cuales se verifica que la derivada local
2287 es nula, es decir, desde su establecimiento pasó el tiempo suficiente como para que
2288 el fluido se encuentre en un estado en el cual cualquier variable asociada con él
2289 no cambia en el tiempo. Además serán unidimensionales, y laminares, esto quiere
2290 decir que la velocidad tiene una componente y varía en una de las direcciones or-
2291 togonales, localmente, a ella. También se supondrá que no existen flujos de calor
2292 dentro del fluido o desde/hacia las superficies sólidas (esto es equivalente a supo-
2293 ner que no existen gradientes de temperatura en el seno del fluido), Esta hipótesis
2294 permite suponer que las propiedades, en particular la viscosidad, son una constan-
2295 te. La no existencia de gradientes de temperatura también está asociada con que en
2296 el seno del fluido no se convierte energía cinética macroscópica en energía interna,
2297 cosa que está relacionada con la disipación.

2298 Estas soluciones son una de las muchas que tiene el sistema de ecuaciones de
2299 Navier Stokes y las mismas se podrán observar, o no, en la vida real dependiendo
2300 de la estabilidad de las mismas, entendiéndose por estabilidad la permanencia
2301 temporal de la solución encontrada. La estabilidad de las soluciones es un tema
2302 crucial de la mecánica de fluidos que no será tratado en estas notas, pero que se
2303 puede resumir diciendo que: cada sistema tiene un conjunto de parámetros que
2304 mientras que se mantengan en un cierto rango, las soluciones son estables, pero
2305 que si se van de él pequeñas perturbaciones, siempre presentes en los flujos reales
2306 desatan inestabilidades que llevan al flujo a comportarse de una manera diferente
2307 que la encontrada en el papel.

2308 Los problemas que nos ocupan tienen como parámetro representativo de la es-
2309 tabilidad al número de Reynolds Re . Si este es relativamente bajo las soluciones
2310 laminares calculadas se encontraran en la realidad, el número límite, depende de
2311 las propiedades del fluido, y geometría del flujo pero para fijar ideas podemos decir
2312 que hasta un valor típico de $Re \simeq 10^3$ las soluciones laminares son estables, pa-
2313 sando este valor, el flujo se inestabiliza y, luego de una región de transición, se
2314 convierte en turbulento en mayor o menor medida.

Se verá que para este tipo de soluciones, en geometría cartesiana, la derivada convectiva es nula, lo cual establece que el flujo es ordenado, el transporte de masa se hará sólo en la dirección de la velocidad, transversalmente a ella solo habrá transferencia de calor por conducción.

5.1.1. FLUJOS EN GEOMETRÍA PLANA

Comenzaremos aplicando las ecuaciones de Navier–Stokes a flujos sencillos en geometría plana, la dinámica estará regida por la aplicación de un gradiente de presión externo, una fuerza de volumen o el movimiento de los contornos sólidos. La condición de incompresibilidad impone que la velocidad depende de las coordenadas perpendiculares a su dirección y esto, a su vez, anula varios de los componentes del término convectivo. En geometría plana, estos flujos se caracterizan por tener líneas de corriente planas, no hay curvatura y esto tiene una consecuencia inmediata porque el gradiente de presión que aparece en la dirección perpendicular a la velocidad será hidrostático, o lo que es lo mismo el término convectivo de la derivada material será nulo, cosa que no se cumple si tenemos líneas de corriente curvas.

(A). FLUJOS DE COUETTE, DE POISEUILLE Y DE COUETTE–POISEUILLE

Comenzaremos estudiando el flujo unidimensional de un fluido newtoniano confinado entre dos placas que se mueve por efecto de arrastre de sus contornos, (flujo de Couette) la imposición de un gradiente de presión o una fuerza de volumen (flujo de Poiseuille) o una combinación de ambos (flujo de Couette–Poiseuille). Comenzaremos a estudiar una geometría sencilla: plana, como la que se presenta en la figura 5.1, en la que la distancia h es macroscópica de manera de poder tomar como válida la condición de no deslizamiento. El caso con deslizamiento lo estudiaremos más adelante en este capítulo.

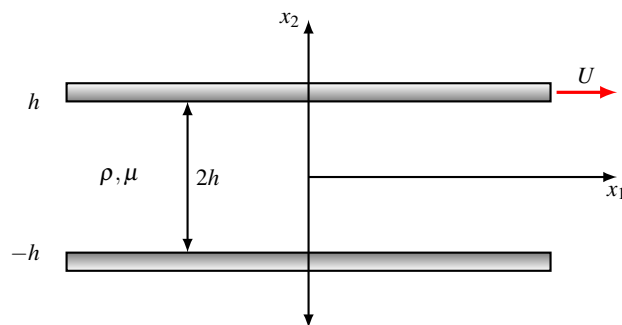


Figura 5.1.: Geometría para estudiar los flujos de Couette, Poiseuille y Couette–Poiseuille.

El hecho que sólo se mueva la placa superior no es restrictivo si el problema es estacionario, en efecto, si la placa inferior también se mueve basta con considerar un sistema de referencia fijo al la placa inferior y entonces la velocidad con que se mueve la superior es la relativa, el campo de velocidades será también relativo a la placa inferior. El fluido, de densidad ρ y viscosidad μ , lo consideraremos isotérmico (a una temperatura T) esto significa que no puede haber flujo de calor desde el fluido a las superficies que lo limitan y por lo tanto la temperatura de estas será la misma que la del fluido y la disipación viscosa la consideraremos despreciable resultando que la ecuación de la energía no se debe resolver. En la dirección x_3 , se supondrá que hay simetría de traslación de manera que las soluciones encontradas en el plano $x_3 = 0$ se repiten en todo plano paralelo a él. Si las superficies son infinitas en la dirección del eje x_1 ninguna de las cantidades asociadas con el fluido, a excepción de la presión, podrá depender de ella. El campo de velocidades será:

$$\vec{v} = v_1(x_2)\hat{i} + v_2(x_2)\hat{j}$$

Las ecuaciones por resolver serán:

$$\frac{\partial v_2}{\partial x_2} = 0 \quad (5.1a)$$

$$\rho v_2 \frac{\partial v_1}{\partial x_2} = -\frac{\partial p}{\partial x_1} + \mu \frac{\partial^2 v_1}{\partial x_2^2} + \rho g_1 \quad (5.1b)$$

$$\rho v_2 \frac{\partial v_2}{\partial x_2} = -\frac{\partial p}{\partial x_2} + \mu \frac{\partial^2 v_2}{\partial x_2^2} + \rho g_2 \quad (5.1c)$$

$$\frac{\partial^2 p}{\partial x_1^2} + \frac{\partial^2 p}{\partial x_2^2} = 0 \quad (5.1d)$$

Notemos que al ser la fuerza de volumen ρg conservativa, entonces se puede definir una presión generalizada:

$$\mathbb{P} = p - g_i x_i,$$

con lo cual se puede eliminar las fuerza de volumen (peso en este caso) de las ecuaciones. En general en la presión generalizada se podrán inculir las fuerzas conservativas, ya que las mismas derivan de un potencial y matematicamente se las puede incluir en el termino gradiente de presión. Para seguir adelante convertiremos el modelo dimensional a uno adimensional. Utilizaremos los siguientes cambios de escala:

$$y = \frac{x_2}{h}, \quad x = \frac{x_1}{h}, \quad u = \frac{v_1}{u^*}, \quad v = \frac{v_2}{u^*}, \quad \frac{\partial \mathcal{P}}{\partial x} = \frac{\Delta \mathbb{P}}{L}. \quad (5.2)$$

La manera de adimensionalizar las variables dependerá del tipo de problema. En particular para los que nos ocupan se presenta una dificultad con la elección de la

2374 velocidad u^* ; en el caso del flujo de Couette puro, se puede tomar $u^* = U$, pero en el
 2375 de Poiseuille puro las placas no se mueven, entonces, en este caso se debe formar
 2376 una velocidad con los parámetros del problema que resulta $u^* = \frac{h^2}{\mu} \left| \frac{\Delta p}{L} \right|$ (la velocidad
 2377 media del flujo, y resulta $\mathcal{P}o = \pm 1$, el signo tendrá en cuenta si el gradiente de
 2378 presión, está en la dirección de la velocidad o se opone a ella). En un caso mixto
 2379 existirán dos posibilidades de elegir u^* , la que seguiremos en estas notas es la
 2380 siguiente, si existe gradiente de presión u^* se forma a partir de él, de manera que
 2381 el flujo de Poiseuille puro se tiene cuando $\mathcal{P}o = \pm 1$, y $\mathcal{U} \neq 1$ en el caso de Couette
 2382 puro $\mathcal{P}o$ será nulo y $\mathcal{U} = 1$ resultan ser:

$$2383 \quad \frac{\partial v}{\partial y} = 0, \quad (5.3a)$$

$$2384 \quad Re v \frac{\partial u}{\partial y} = -\mathcal{P}o \frac{\partial \mathcal{P}}{\partial x} + \frac{\partial^2 u}{\partial y^2}, \quad (5.3b)$$

$$2385 \quad Re v \frac{\partial v}{\partial y} = -\mathcal{P}o \frac{\partial \mathcal{P}}{\partial y} + \frac{\partial^2 v}{\partial y^2}, \quad (5.3c)$$

$$2386 \quad \frac{\partial^2 \mathcal{P}}{\partial x^2} + \frac{\partial^2 \mathcal{P}}{\partial y^2} = 0, \quad (5.3d)$$

2387 y las condiciones de contorno:

$$2389 \quad u(y=1) = \mathcal{U}, \quad u(y=-1) = 0 \text{ no deslizamiento}, \quad (5.4a)$$

$$2390 \quad v(y=1) = 0, \quad v(y=-1) = 0 \text{ el fluido no penetra al sólido.}, \quad (5.4b)$$

2392 En esta formulación aparecen tres números adimensionales: dos en las ecuacio-
 2393 nes: Re y $\mathcal{P}o$ y uno en las condiciones de contorno \mathcal{U} . El número adimensional
 2394 $\mathcal{P}o$ es denominado número de Poiseuille $\frac{h^2 \Delta p}{u^* L \mu}$, este número puede interpretarse de
 2395 varias maneras, una de ellas es la razón entre los esfuerzos normales (presión) con
 2396 los viscosos sobre la placa, o la razón entre la velocidad de la placa y la caracterís-
 2397 tica que es generada por el gradiente de presión. Re es el número de Reynolds $\frac{\rho u^* h}{\mu}$.
 2398 Esta adimensionalización es útil ya que en el caso de un flujo de Poiseuille puro, es
 2399 decir, con contornos fijos, $\mathcal{P}o = 1$ y $\mathcal{U} = 0$. Mientras que en el flujo de Couette puro,
 2400 sin gradiente de presión $\mathcal{U} = 1$ y $\mathcal{P}o = 0$. En un flujo combinado tanto \mathcal{U} como $\mathcal{P}o$
 2401 serán ambos distintos de cero y su valor dependerá de que cantidades se tomen
 2402 para formarlos, por ejemplo si se toma como velocidad característica la velocidad
 2403 de la placa resultará $\mathcal{U} = 1$. Por otra parte, en el caso de que el valor de $Re \ll 1$
 2404 los términos convectivos se hacen depreciable y el perfil de velocidades como así
 2405 también el campo de presiones es independiente de la viscosidad. Comencemos con
 2406 la resolución. La ecuación (5.3a) nos indica que la componente dos del campo de
 2407 velocidades es constante, y como sobre las placas debe ser nula, inmediatamente
 2408 sale que no hay componente dos en este problema. Esta conclusión deriva funda-

mentalmente de la condición de incompresibilidad impuesta y la imposición sobre que los campos sólo son función de x_2 . Distinta sería la conclusión si al menos a la componente dos de la velocidad le hubiéramos permitido que dependa además de x_1 , o que el flujo fuese compresible. Notemos también que la ausencia de la componente dos, hace que los elementos de fluido se muevan de manera muy ordenada, sin poder alejarse o acercarse a, por ejemplo el plano inferior, esto se pone de manifiesto en la anulación de los terminos convectivos en las ecuaciones (5.3b) y (5.3c).

Con este dato el sistema a resolver será:

$$-\mathcal{P}_0 + \frac{\partial^2 u}{\partial y^2} = 0 \quad (5.5a)$$

$$\frac{\partial \mathcal{P}}{\partial y} = 0 \quad (5.5b)$$

$$\frac{\partial^2 \mathcal{P}}{\partial x^2} + \frac{\partial^2 \mathcal{P}}{\partial y^2} = 0 \quad (5.5c)$$

$$u(y=1) = \mathcal{U}, \quad u(y=-1) = 0 \text{ no deslizamiento.} \quad (5.5d)$$

La ecuación (5.5b) establece que la presión generalizada no depende de la coordenada y , si esta información se agrega a la ecuación (5.5c) resulta que de existir un gradiente de presión en la dirección de x éste es constante, o lo que es lo mismo no depende de x , por lo tanto conocida la presión (generalizada) en dos puntos separados una distancia L el gradiente se puede evaluar exactamente como $\frac{\partial \mathcal{P}}{\partial x} = \frac{\Delta \mathcal{P}}{L}$, es decir que el gradiente adimensional toma el valor 1. Es importante notar, en base a como se construyó la presión generalizada, que aun si hubiera una componente de la aceleración de la gravedad, el efecto de esta no generaría un gradiente de presión generalizada, en efecto en esta cantidad se incluyen sólo los gradientes impuestos al sistema por medios mecánicos, debemos entender que las fuerzas de volumen, en el equilibrio, son las causas de la aparición de gradientes de presión, que contrarrestan sus efectos, pero que en condiciones fuera del equilibrio como esta, no es posible apelar a esta idea. Podemos decir, entonces que en este tipo de flujos, si se impone externamente un gradiente de presión, la presión varía a lo largo del eje x , pero esta variación es lineal, y es impuesta por una condición mecánica más que por una termodinámica. Como la única variable dependiente del problema es y , las derivadas parciales se convierten en totales, por lo tanto la ecuación (5.5a) se puede escribir como:

$$\frac{d^2 u}{dy^2} = \mathcal{P}_0.$$

Recordemos que la derivada segunda de una función esta relacionada con la curvatura local, y que las curvas con curvatura nula son las rectas, por lo tanto si el

número de Poiseuille es nulo (no hay aplicado gradientes de presión en la dirección del movimiento, entonces es un flujo de Couette puro) el perfil de velocidades será lineal. Integrando esta ecuación resulta:

$$u(y) = \frac{\mathcal{P}_0}{2} y^2 + C_{1v} y + C_{2v}. \quad (5.6)$$

Las constantes C_{iv} se obtienen a partir de las condiciones de contorno del problema:

$$u(y=1) = \mathcal{U} = \frac{\mathcal{P}_0}{2} + C_{1v} + C_{2v}, \quad u(y=-1) = 0 = \frac{\mathcal{P}_0}{2} - C_{1v} + C_{2v}.$$

Llegamos a un sistema lineal de dos ecuaciones con dos incógnitas que se puede resolver por cualquiera de los métodos conocidos. Resolviendo para C_{iv} resulta:

$$C_{1v} = \frac{1}{2} \mathcal{U}, \quad C_{2v} = \frac{1}{2} (\mathcal{U} - \mathcal{P}_0).$$

Con lo cual el perfil de velocidades y la componente relevante del tensor de tensiones (adimensional) vendrá dado por:

$$u(y) = \frac{\mathcal{P}_0}{2} (y^2 - 1) + \frac{\mathcal{U}}{2} (1 + y), \quad (5.7)$$

$$s_{xy} = \mathcal{P}_0 y + C_{1v} = \mathcal{P}_0 y + \frac{\mathcal{U}}{2}. \quad (5.8)$$

A partir de (5.7) se pueden obtener distintas cantidades asociadas con el flujos como el caudal: Q (por unidad de longitud en la dirección del eje x_3), la posición donde se da la velocidad extrema (máxima o mínima): y_e (o el esfuerzo cortante nulo), la posición donde la velocidad es nula y_0 (aparte de la placa inferior), la velocidad extrema u_e , la función disipación φ :

$$\mathcal{Q} = \int_{-1}^{+1} u(y') dy' = \frac{\mathcal{P}_0}{3} + 2C_{2v} = -\frac{2}{3} \mathcal{P}_0 + \mathcal{U}, \quad (5.9)$$

$$y_0 = 1 - \frac{\mathcal{U}}{\mathcal{P}_0} \quad \text{si } \frac{\mathcal{P}_0}{\mathcal{U}} > 0,5, \quad y_0 = -1 \quad \text{si } \frac{\mathcal{P}_0}{\mathcal{U}} \leq 0,5, \quad (5.10)$$

$$y_e = -\frac{C_{1v}}{\mathcal{P}_0} = -\frac{\mathcal{U}}{2\mathcal{P}_0} \quad \text{si } \left| \frac{\mathcal{P}_0}{\mathcal{U}} \right| > 0,5; \quad y_e = 1 \quad \text{si } \left| \frac{\mathcal{P}_0}{\mathcal{U}} \right| \leq 0,5; \quad (5.11)$$

$$u_e = -\frac{\mathcal{U}^2}{8\mathcal{P}_0} + \frac{\mathcal{U} - \mathcal{P}_0}{2} \quad \text{si } \left| \frac{\mathcal{P}_0}{\mathcal{U}} \right| > 0,5; \quad u_e = \mathcal{U} \quad \text{si } \left| \frac{\mathcal{P}_0}{\mathcal{U}} \right| \leq 0,5; \quad (5.12)$$

$$\varphi = (\mathcal{P}_0 y + C_{1v})^2 = \left(\mathcal{P}_0 y + \frac{\mathcal{U}}{2} \right)^2. \quad (5.13)$$

Notemos que C_{2v} controla esencialmente el caudal, y C_{1v} la disipación y la posición entre las placas donde ocurre el extremo de la velocidad. Más adelante veremos las

consecuencias que tiene esto cuando se utilicen otras condiciones de contorno.

(B). ANÁLISIS DEL FLUJO DE COUETTE-POISEUILLE

A continuación marcaremos los detalles y características de de cada tipo de flujo.

FLUJO DE COUETTE Como ya mencionamos, el flujo de Couette se da cuando no hay gradientes de presión y esto significa que el número de Poiseuille es nulo, es decir $\mathcal{P}o = 0$. Comencemos por decir que el perfil de velocidades que se establece entre las placas es lineal, y que los esfuerzos cortantes son constantes en todo el volumen.

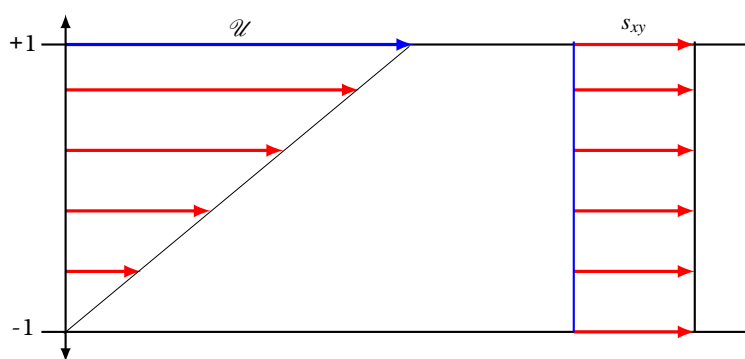


Figura 5.2.: Campo de velocidades y esfuerzos para un de Couette.

Del hecho que el perfil de velocidades es lineal, implica que el máximo de velocidad se da sobre la placa móvil, por lo tanto no habrá zonas con reflujo (zonas donde la velocidad tiene el sentido de $-x$). El esfuerzo que aplica el fluido a cada una de las placas viene dado por $S_{12}n_2 = \pm s_{xy}$ donde el signo positivo corresponde al caso de la placa inferior y el negativo a la placa superior (recordemos que el cambio de signo está asociado con el cambio de sentido de la normal); como s_{xy} no cambia de signo el esfuerzo en cada placa tiene el sentido opuesto, lo que significa que “el fluido frena” a la placa superior y trata de desplazar a la derecha la inferior.

FLUJO DE POISEUILLE El campo de velocidades para el flujo de Poiseuille se obtiene de la ecuación (5.7) fijando el valor de $\mathcal{U} = 0$.

En la figura 5.3 se presenta el perfil de velocidades y el de tensiones en el fluido, para el caso en que $\mathcal{P}o < 0$, es decir la presión generalizada a la izquierda es mayor que la de la derecha. Notemos que en este caso el perfil es curvo, y que presenta un extremo en la mitad del canal ($y = 0$) como los componentes relevantes del tensor

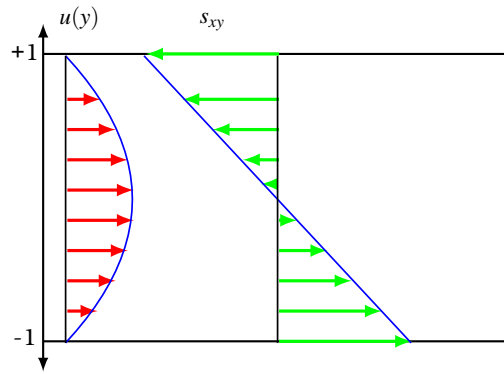


Figura 5.3.: Campo de velocidades y esfuerzos para un de Poiseuille.

de tensiones ($s_{xy} = s_{yx}$) son proporcionales a $\frac{\partial u}{\partial y}$ presentarán un cruce por cero, es decir, en la parte superior del canal existirá un s_{xy} negativo y en la inferior uno negativo, con lo cual en cada una de las placas el esfuerzo que realiza el fluido será en sentido de las x , es decir, tratando de desplazar las placas en la dirección del flujo.

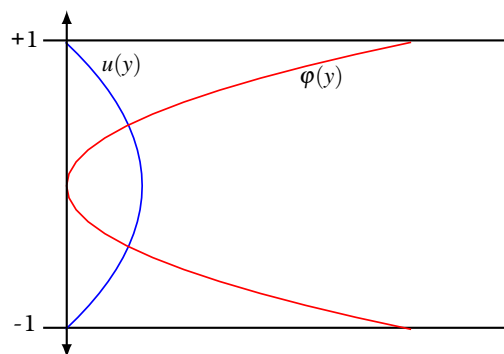


Figura 5.4.: Campo de velocidades y esfuerzos para un de Poiseuille.

En la figura 5.4 podemos ver el perfil de velocidades junto con la función disipación y nos damos cuenta que en las zonas de mayor velocidad la disipación es menor, este resultado no nos tiene que sorprender ya que la disipación está relacionada con los gradientes de velocidad y no con el valor que ella tome, en las zona de mayor velocidad los gradientes son menores, entonces es razonable que la disipación sea menor. La energía disipada podrá aumentar la energía interna del fluido, con lo cual aumentará la temperatura o fluirá hacia el exterior del canal a través de las placas o el interior del fluido. Más adelante haremos modelos para estudiar éste fenómeno.

FLUJO DE COUETTE-POISEUILLE En este caso tanto \mathcal{P}_0 como \mathcal{U} son distintos de cero, y en particular como la placa superior se mueve, se puede elegir como escala de velocidades el valor de su velocidad, por lo tanto $\mathcal{U} = 1$. El perfil de velocidades vendrá dado por (5.7) que puede factoriarse como:

$$u(y) = [\mathcal{P}_0(y-1) + 1] \frac{y+1}{2} \quad (5.14)$$

El lo que sigue supondremos que la velocidad de la placa superior es en la dirección del eje $+x$. El gradiente de presión aplicado se denominara favorable cuando la presión disminuya en el sentido de $+x$, es decir si en x_1 la presión es p_1 y x_2 , p_2 entonces $p_2 - p_1 < 0$ Lo cual significa que el el gradiente de presión tiene el mismo efecto sobre el fluido que el movimiento de la placa. Por otra parte si el gradiente de presión es positivo, diremos que es favorable (o adverso). Obviamente si el gradiente de presión es nulo ($p_1 - p_2$), estaremos en el caso ya estudiado del flujo de Couette. El cambio de signo del gradiente de presión conduce a un cambio de signo en el número de Poiseuille y geoméricamente se observa en un cambio en la concavidad del perfil de velocidades (notemos que la derivada segunda del mencionado campo es proporcional a \mathcal{P}_0).

La forma del perfil, se establece como una consecuencia de la competencia entre los efectos del gradiente de presión y el movimiento de la placa. Para valores extremos del parámetro \mathcal{P}_0 ($|\mathcal{P}_0| > 1$) dominará el efecto de la diferencia de la presión por sobre el movimiento y tendremos perfiles de velocidad donde los elementos de fluido se mueven hacia $+x$, en el caso de un gradiente favorable, o $-x$ en el caso de un gradiente desfavorable. Sin embargo, si $|\mathcal{P}_0| \sim 1$, el efecto del movimiento de la placa y el gradiente de presiones no tiene un efecto dominante neto, en efecto, si tenemos un gradiente desfavorable, este tenderá a frenar el flujo impuesto por la placa, de manera tal que en las cercanías de ella el elemento de fluido se mueve hacia $+x$, pero lejos, el efecto de la placa se pierde y el elemento de fluido se moverá hacia $-x$; esto quiere decir que tiene que haber un punto intermedio en el que la velocidad es nula.

De la ecuación (5.14) se desprende que la velocidad es nula en $y = -1$ (que es la condición de no deslizamiento sobre la placa inferior) y en la coordenada y_0 :

$$y_0 = 1 - \frac{1}{\mathcal{P}_0}.$$

Recordemos que esta expresión es válida si $|y_0| \leq 1$. Si \mathcal{P}_0 es negativo, no hay soluciones con sentido físico, esto es, con un gradiente favorable de presión no habrá inversión de velocidad, lo mismo ocurre para $0 \leq \mathcal{P}_0 \leq 0,5$. A medida que aumenta el número \mathcal{P}_0 desde 0,25, el punto donde la velocidad se anula se desplaza por el

2545 eje $+y$, el caudal va disminuyendo hasta que $\mathcal{P}_0 = \frac{3}{2}$ donde se anula, (esto ocurre
 2546 cuando $y_0 = \frac{1}{3}$) a partir de este punto el caudal sigue creciendo pero con dirección
 2547 $-x$.

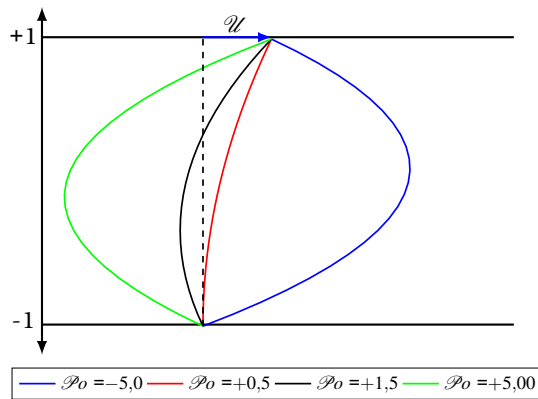


Figura 5.5.: Perfil de velocidad de un flujo de Couette-Poiseuille para distintos valores de \mathcal{P}_0 .

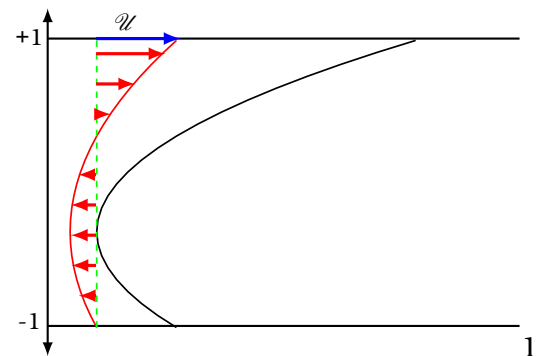


Figura 5.6.: Perfil de velocidad y función de disipación para un flujo de Couette-Poiseuille con $\mathcal{P}_0 = 1,5$.

2548 En la figura 5.5 se presentan perfiles de velocidad para $\mathcal{P}_0 = 5; 1,5; 0,5; -5$. En la
 2549 figura 5.6 se puede observar, nuevamente, que la disipación es “baja” en la zona
 2550 donde la velocidad es máxima. Y, para este caso, en la zona superior se tiene la
 2551 mayor disipación. 5.1a

2552 5.1.2. FLUJOS EN GEOMETRÍA CILÍNDRICA

2553 En esta sección se estudiarán flujos sencillos en geometría cilíndrica. Existen dos
 2554 tipos de flujos que tienen importancia industrial y que son manejables matemática-
 2555 mente a nivel de este curso. El primero es el movimiento transversal de un fluido
 2556 entre dos cilindros coaxiales que rotan relativamente, el segundo es el de un fluido
 2557 con movimiento dentro de una tubería de sección circular, este flujo tiene que ser
 2558 impulsado por la aplicación de un gradiente de presión. El primero de los flujos
 2559 citados es el denominado flujo de Couette cilíndrico, o de Couette-Taylor y al se-
 2560 gundo se lo denomina flujo de Hagen-Poiseuille. El flujo de Couette-Taylor tiene
 2561 gran importancia tecnológica pues muchos de los viscosímetros que se utilizan en
 2562 la industria poseen este flujo. Por otra parte la facilidad del equipo para su ge-
 2563 neración permite estudiar la inestabilidad de flujos, sistemas no lineales, caóticos
 2564 y transición a la turbulencia con facilidad, de ahí que también tiene importancia
 2565 académica.

(A). FLUJO DE COUETTE-TAYLOR

Este flujo es similar al flujo de Couette plano estudiado anteriormente, pero tiene una particularidad que lo hace interesante de estudiar, en efecto, el flujo de Couette plano es incondicionalmente estable para el caso en que el número de Reynolds sea pequeño, es decir, se obtiene una solución estacionaria; el de Couette-Taylor puede llegar a inestabilizarse, sin llegar a ser turbulento, aún para número de Reynolds bajos, dando lugar a flujos estacionarios pero de complejidad mayor al “laminar” El fluido, de densidad ρ y viscosidad cinemática ν , se encuentra en el espacio anular entre dos cilindros, el interno de radio R_1 que gira a velocidad angular ω_1 y el externo, de radio R_2 que gira a velocidad angular ω_2 . Si bien en flujos sencillos el parámetro que marca el cambio de régimen es el número de reynolds, en este caso el parámetro adimensional que describe este sistema es el denominado número de Taylor definido como²

$$\mathcal{T}a = \frac{2\omega_1^2 R_2^2 (R_2 - R_1)^4}{\nu (R_2^2 - R_1^2)} \left(\left(\frac{R_1}{R_2} \right)^2 - \left(\frac{\omega_2}{\omega_1} \right)^2 \right)$$

Que con un poco de álgebra se reescribe como:

$$\mathcal{T}a = \mathcal{R}e_1^2 \frac{d}{\bar{R}} \left(\frac{R_2}{R_1} \right)^2 \left(\left(\frac{R_1}{R_2} \right)^2 - \left(\frac{\omega_2}{\omega_1} \right)^2 \right)$$

Donde \bar{R} es el promedio aritmético de los radios de los cilindros, d es el tamaño del hueco y $\mathcal{R}e_1 = \frac{\omega_1 R_1 d}{\nu}$ es el número de Reynolds evaluado con los parámetros dinámicos del cilindro interno. La primer transición ocurre para un número de Taylor de 1708, es decir que el flujo sencillo de couette se rompe en una serie de vórtices toroidales generados de a pares que rotan en sentido opuesto, estos vórtices se aprecian como en la fotografía de la izquierda en la figura 5.9 , sobre estos vórtices aparecen ondas cada vez más complejas que terminan desatando el flujo turbulento. Cuando el número de Taylor es grande, el sistema no puede caracterizarse por un solo parámetro y su estado queda especificado por el número de Reynolds calculado con los parámetros del cilindro interno $\mathcal{R}e_1$ y el calculado con los parámetros del externo $\mathcal{R}e_2$.

Si el número de Taylor verifica que $\mathcal{T}a < 1700$, es decir la parte inferior del plano $\mathcal{R}e_1, \mathcal{R}e_2$ mostrado en la figura 5.7 se tiene el flujo de Couette cilíndrico. A medida que el número de Taylor crece el flujo se inestabiliza pasando a un flujo con simetría axisimétrica toroidal, estos toroides, llamados vórtices de Taylor, se espacian en la

²Si bien en la literatura existen varias definiciones para este número, la presentada aquí es la más general. Si el cilindro externo está fijo, $\omega_2 = 0$ la expresión que queda es la que figura en los libros de texto de mecánica de fluidos.

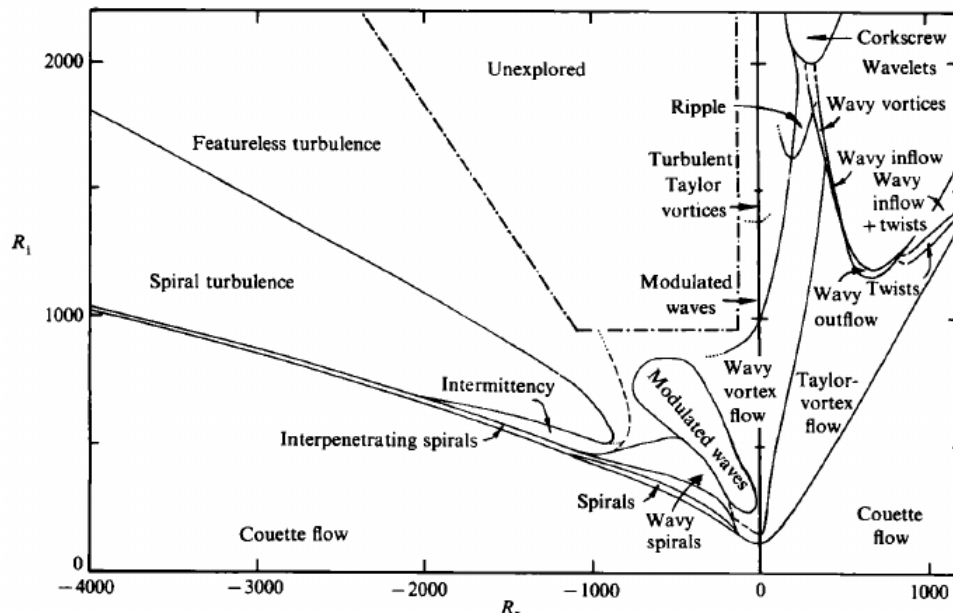


Figura 5.7.: Plano Re_1 Re_2 , R_1 , R_2 , R_0 donde se presentan los distintos tipos de flujo que aparecen en el flujo de Couette-Taylor. El número $Re_2 < 0$ significa que los cilindros están rotando en sentido opuesto. Figura tomada de **Andereck 1986**

dirección axial con una longitud de onda que viene dada por $\lambda = \pi d/1,56$, en estos toroides, los elementos de fluido se mueven en su superficie rotando y avanzando en la dirección transversal. El sentido de giro de los elementos de fluido, es opuesto en cada vórtice de Taylor contiguo. Si el número de Taylor aumenta aún más, los vórtices pierden la simetría axial ver figura 5.8 hasta terminar por desordenarse totalmente la estructura desatándose un flujo turbulento. En la figura se muestran distintas estructuras de flujos para distintas velocidades de rotación relativa de los cilindros, el número de Taylor crece de izquierda a derecha: Supongamos que el espacio interior, no necesariamente pequeño, entre los cilindros coaxiales, se encuentra ocupado por un fluido Newtoniano, incompresible, de densidad ρ y viscosidad μ . Buscaremos soluciones en régimen laminar, es decir que el número $Ta < Ta_c$ ³ y trabajaremos en coordenadas cilíndricas⁴ entonces tendremos:

$$\vec{v} = v_2(x_1, x_3)e_2.$$

Suponiendo que los cilindros son infinitos en la dirección axial (x_3) la solución no puede depender de esta coordenada, entonces se tendrá que, por otra parte supondremos que tampoco puede depender de x_2 debido a la simetría que tiene el problema tendremos y tampoco puede haber gradientes de presión en esa direc-

³En la literatura a este flujo se lo denomina flujo de Couette cilíndrico.

⁴En este caso $x_1 = r, x_2 = \theta, x_3 = z$

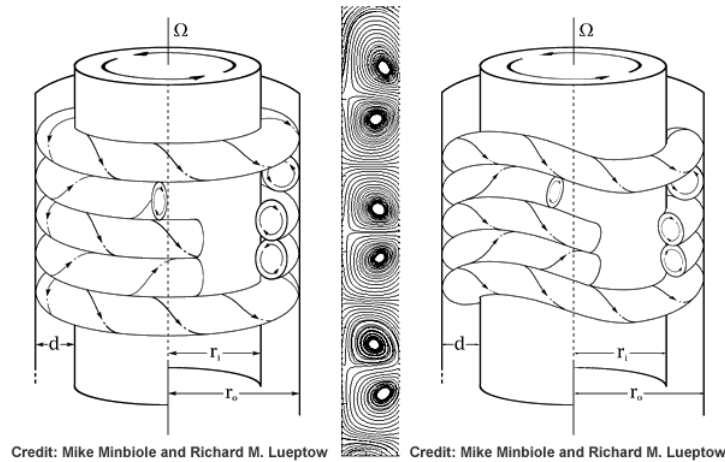


Figura 5.8.: Estructura del flujo para $Ta > 1708$. En el centro de la figura se observan las líneas de corriente de este flujo.

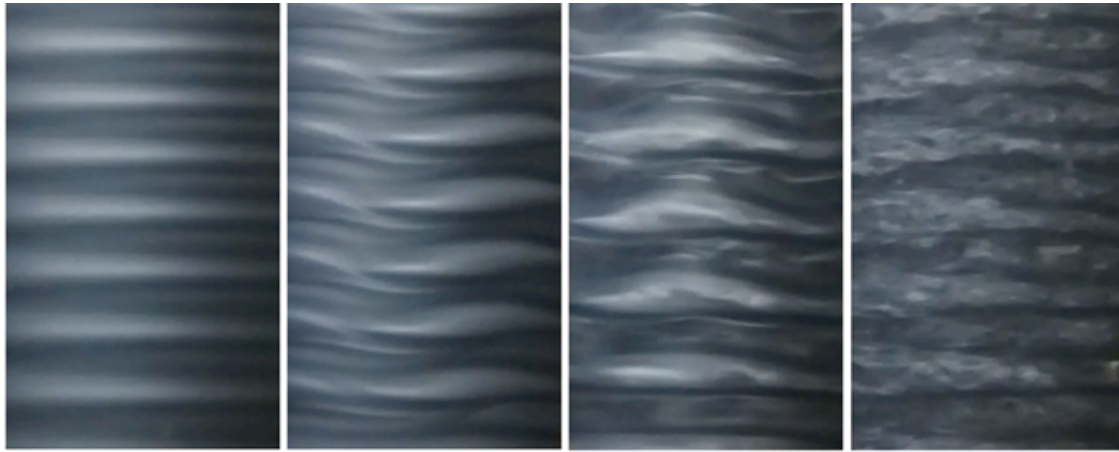


Figura 5.9.: Distintas estructuras que se forman en el flujo de Couette-Taylor. El número de Taylor (ver texto) crece de izquierda a derecha. Figura tomada de https://www.compadre.org/advlabs/wiki/Taylor-Couette_Flow

ción, entonces, las ecuaciones a resolver, descritas desde un sistema inercial de referencia son:

$$\theta: \quad 0 = \mu \left[\frac{1}{x_1} \frac{\partial}{\partial x_1} \left(x_1 \frac{\partial v_2}{\partial x_1} \right) - \frac{v_2}{x_1^2} \right] \quad (5.15)$$

$$r: \quad -\rho \frac{v_2^2}{x_1} = -\frac{\partial P}{\partial x_1} \quad (5.16)$$

Las condiciones de contorno aplicables serán

$$v_2(x_1 = R_1) = \omega_1 R_1 \quad v_2(x_1 = R_2) = \omega_2 R_2.$$

Es conveniente notar que $R_2 = d + R_1$ con d el tamaño del hueco. Si dividimos por R_1

llegamos a que hay dos parámetros geométricos en este problema (aparte de otro que incluye la altura de los cilindros pero que la consideramos infinita)

$$\kappa = \frac{R_2}{R_1} \quad \varepsilon = \frac{d}{R_1},$$

escalamos las longitudes con el radio del cilindro interno y llamamos ε al huelgo adimensionalizado tendremos que: $\kappa = 1 + \varepsilon$. Se dirá que el huelgo es estrecho cuando $\varepsilon \ll 1$ y esta es la condición geométrica de muchos viscosímetros. Con el siguiente escalado:

$$x_1 = rd \quad v_2 = v\omega_1 R \quad P = p\rho\omega_1^2 R^2,$$

las ecuaciones y condiciones de contorno se transforman en:

$$\theta: \quad 0 = \frac{1}{r} \frac{\partial}{\partial r} \left(r \frac{\partial v}{\partial r} \right) - \frac{v}{r^2}, \quad (5.17)$$

$$r: \quad -\frac{v^2}{r} = -\frac{\partial \mathcal{P}}{\partial r}, \quad (5.18)$$

$$\begin{aligned} v(r=1) &= 1, \\ v(r=\kappa) &= \Omega\kappa, \end{aligned} \quad (5.19)$$

$$p(r=1) = p_1. \quad (5.20)$$

Una forma alternativa de la ecuación (5.17) es la siguiente:

$$0 = \frac{1}{r^2} \frac{\partial}{\partial r} \left(r^3 \frac{\partial}{\partial r} \left(\frac{v}{r} \right) \right)$$

Esta ecuación tiene un contenido físico que resulta evidente al estudiarla en detalle, en efecto la cantidad $r \frac{\partial}{\partial r} \left(\frac{v}{r} \right)$ es la componente θ del esfuerzo viscoso que se ejerce sobre una superficie de normal \hat{r} . Al multiplicar esta cantidad por r nos da el momento respecto al eje de rotación de los cilindros al multiplicar nuevamente por r y salvo por un factor 2π la cantidad $r^3 \frac{\partial}{\partial r} \left(\frac{v}{r} \right)$ resulta ser el momento por unidad de longitud en la dirección del eje de los cilindros y la ecuación indica que no depende de r . Como la única variable independiente es r , las derivadas parciales se pueden cambiar por totales las ecuaciones se transforman en

$$r^2 \frac{d^2 v}{dr^2} + r \frac{dv}{dr} - v = 0,$$

$$\frac{d\mathcal{P}}{dr} - \frac{v^2}{r} = 0.$$

La primera ecuación indica que el campo de velocidades viene dado por:

$$v(r) = \frac{C_1}{r} + C_2 r.$$

Aplicando las condiciones de contorno surge que:

$$C_1 = \frac{\kappa^2(\Omega - 1)}{1 - \kappa^2} \quad C_2 = \frac{1 - \Omega\kappa^2}{1 - \kappa^2}.$$

El campo de velocidad será:

$$v(r) = \frac{\kappa^2(\Omega - 1)}{1 - \kappa^2} \frac{1}{r} + \frac{1 - \Omega\kappa^2}{1 - \kappa^2} r, \quad (5.21)$$

y para la presión tendremos que:

$$\begin{aligned} p(r) &= p_1 + \frac{C_2^2}{2} \left[\left(\frac{C_1}{C_2} \right)^2 \left(1 - \frac{1}{r^2} \right) + (r^2 - 1) + 4 \frac{C_1}{C_2} \ln r \right] \\ &= p_1 + \frac{1}{2} \left(\frac{1 - \Omega\kappa^2}{1 - \kappa^2} \right)^2 \left[\left(\frac{\kappa^2(\Omega - 1)}{1 - \Omega\kappa^2} \right)^2 \left(1 - \frac{1}{r^2} \right) + (r^2 - 1) + 4 \frac{\kappa^2(\Omega - 1)}{1 - \Omega\kappa^2} \ln r \right] \end{aligned} \quad (5.22)$$

Donde p_1 es la presión adimensional que hay en la cara en contacto con el fluido del cilindro interno.

ANÁLISIS DEL FLUJO DE COUETTE-TAYLOR En los campos encontrados, fijar el valor de κ es fijar la geometría y el de Ω es fijar la cinemática. Si los cilindros giran en distinto sentido Ω será negativo, cero si el cilindro externo no gira, y positivo si los cilindros giran en el mismo sentido, un caso particular cuando los cilindros giran en el mismo sentido y con la misma velocidad angular corresponde a $\Omega = +1$, este movimiento es el que corresponde al fluido moviéndose como un cuerpo rígido, en efecto si $\Omega = +1$, el campo de velocidades adimensional será

$$v(r) = r,$$

y el campo de presiones

$$p(r) = p_1 + \frac{1}{2} (r^2 - 1).$$

El campo adimensional de velocidades es el de un sólido rígido, y el de presiones coincide con lo encontrada en el capítulo de equilibrio relativo.

El campo de velocidades obtenido en la (5.21) y la presión de (5.22) se presentan en las figuras 5.21 y 5.22. en este caso se tomó $\kappa = 2$, es decir el cilindro externo tiene un radio el doble que el interno.

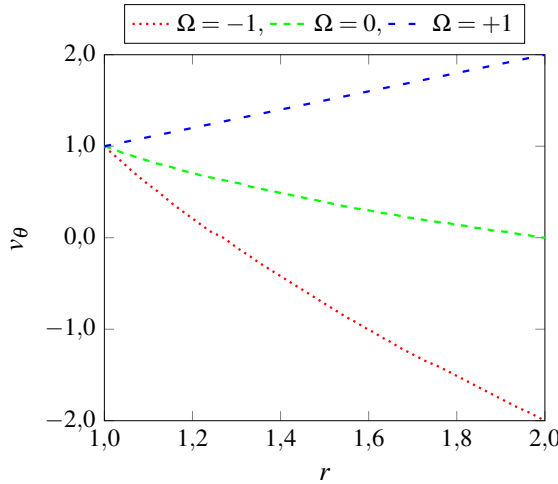


Figura 5.10.: Campo de velocidades para $\kappa = 2$ y distintos valores del parámetro Ω .

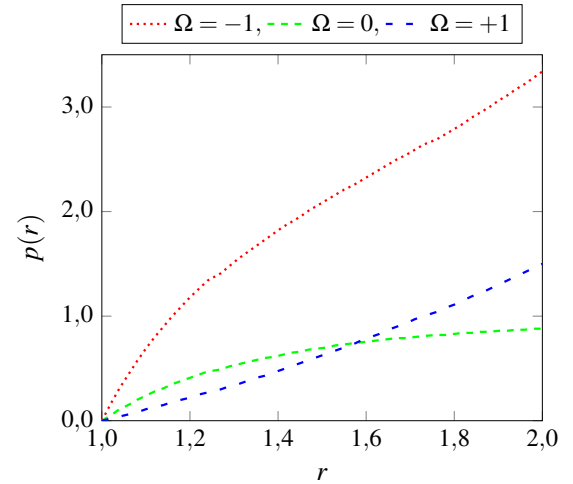


Figura 5.11.: Campo de presiones para $\kappa = 2$ y distintos valores del parámetro Ω .

El campo de velocidades se puede pensar como la superposición de dos, uno es la rotación rígida del fluido, con una velocidad angular, constante, dada por

$$\Omega_R = \frac{1 - \Omega \kappa^2}{1 - \kappa^2},$$

y otra una rotación no rígida, con una velocidad angular variable en el espacio dada por

$$\Omega_{NR}(r) = \frac{\kappa^2(\Omega - 1)}{1 - \kappa^2} \frac{1}{r^2}.$$

De manera que el campo de velocidades se puede escribir como:

$$v(r) = (\Omega_R + \Omega_{NR}(r)) r \quad (5.23)$$

Desde el punto de vista matemático la velocidad correspondiente al movimiento como sólido rígido es rotacional (su rotor es $2C_2$) y la correspondiente a la velocidad variable es irrotacional (su rotor es nulo). Conocido el campo de velocidades es interesante, para entender la dinámica, calcular los esfuerzos que actúan sobre los cilindros dados por $S_{r\theta}$ del tensor de tensiones (4A.I.3d). Si los esfuerzos los adimensionalizamos con $\mu \omega_1 / R_1$ tendremos

$$S_{r\theta} = \frac{1}{r} \frac{\partial v_r}{\partial \theta} + r \frac{\partial}{\partial r} \left(\frac{v_\theta}{r} \right)$$

Como v_r es nulo y v_θ viene dado por (5.23), resulta que

$$S_{r\theta} = r \frac{\partial \Omega_{NR}(r)}{\partial r} = -2 \frac{\kappa^2(\Omega - 1)}{1 - \kappa^2} \frac{1}{r^2},$$

es decir, que sólo la componente de rotación no rígida genera esfuerzo. Calculemos

ahora el momento que ejerce el fluido sobre los cilindros (por unidad de altura de estos); el momento que aparece sobre el cilindro interior \mathcal{M}_1 ($r = 1$) por unidad de longitud será:

$$\mathcal{M}_1 = 2\pi r^2 S_{r\theta} \Big|_{r=1} = -4\pi \frac{\kappa^2(\Omega - 1)}{1 - \kappa^2},$$

y el que aparece sobre el cilindro exterior \mathcal{M}_2 ($r = \kappa$)

$$\mathcal{M}_2 = 2\pi r^2 S_{r\theta} \Big|_{r=\kappa} = 4\pi \frac{\kappa^2(\Omega - 1)}{1 - \kappa^2}.$$

En estado estacionario, entonces, la suma de los esfuerzos que actúan sobre el fluido es nula. Si se tiene que un sistema no recibe energía (momento) externo y se parte desde un estado donde $\Omega \neq 1$ (los cilindros giran a velocidad angular distinta), el efecto de estos momentos sobre ellos hará que el lento se acelere y el rápido se frene, con lo cual se llegará al estado en que los dos se mueven a la misma velocidad angular y el fluido que hay en su interior rotará como un sólido rígido. Otro punto interesante para destacar de este movimiento es que los elementos de fluido no tienen esfuerzos viscosos netos, en efecto, la suma de los esfuerzos viscosos que actúan sobre un elemento de fluido que se encuentra en la posición r vendrán dados por el termino viscoso de la ecuación de Navier Stokes y por la forma funcional de la misma (5.15) este será nulo. Por otra parte si estudiamos la función disipación, que para el campo de velocidades considerado se escribe como (ver ecuación (4A.I.7)):

$$\Phi = 2\mu \left[r \frac{\partial}{\partial r} \left(\frac{v}{r} \right) \right],$$

vemos que para el caso del la componente de rotación como sólido rígido no genera disipación. Resumiendo todo lo visto encontramos que si un sistema compuesto por dos cilindros con su interior ocupado por un fluido newtoniano isotérmico, y sobre el cual no actúan momentos externos, en estado estacionario, ambos cilindros rotarán a la misma velocidad angular y el fluido lo hará como un sólido rígido sin disipar energía.

Si uno de los cilindros, el exterior por ejemplo, está fijo, entonces para mantener la velocidad angular de rotación del interno constante, habrá que aplicarle un momento exterior, y habrá disipación de energía (conversión de energía cinética en energía interna de manera irreversible). Estas observación es importante pues los viscosímetros de cilindro se modelan esencialmente así, y por lo tanto si a alta velocidad de deformación se observa una disminución de la viscosidad, bien podría ser debido a la reología del fluido (pseudoplastico) o bien al aumento de su temperatura.

2729 (B). FLUJO DE POISEUILLE

2730 Estudiaremos ahora el caso de un fluido viscosos que se mueve dentro de una
 2731 tubería de sección circular por efecto de: un gradiente de presión aplicado, o una
 2732 fuerza de volumen que actúa a lo largo de su eje. A fines de la tercer década del si-
 2733 glo XIX Gotthilf Heinrich Ludwig Hagen y Jean Léonard Marie Poiseuille estudiaron
 2734 experimentalmente la dependencia del caudal volumétrico (Q_V) de un liquido visco-
 2735 sos movido por un gradiente de presión (P/L) por una tubería de sección circular
 2736 de radio D , llegando a una ecuación empírica que establecía:

$$2737 \quad Q_V = \frac{K''PD^4}{L}.$$

2738 Donde K'' se denomina constante de Poiseuille y es función del tipo de fluido que
 2739 se desplace por la tubería y la temperatura, si bien la viscosidad de los fluidos ya
 2740 era conocida (desde 1823) Poiseuille no la menciona en sus trabajos. Poiseuille se
 2741 dio cuenta que la ley era valida para longitudes de la tubería mayores que un cierto
 2742 valor, esto en la actualidad se conoce con el nombre de efectos de borde y es por ello
 2743 que en mucha de la literatura a el flujo se lo denomina solo de Poiseuille. LA demos-
 2744 tración teórica que la ley de Hagen–Poiseuille aparece en 1860 y se debe a Eduard
 2745 Hagenbach. Una interesante historia de los experimentos que llevaron a entender
 2746 el flujo de Poiseuille se pueden encontrar en **Sutera1993 (Sutera1993)**. En lo si-
 2747 guiente, desarrollaremos el tema a partir de las ecuaciones de Navier–Stokes. El
 2748 flujo que se desarrolla en el supuesto de estar en régimen laminar se denomina
 2749 axial; Si utilizamos un sistema cilíndrico de coordenadas de manera tal que el eje
 2750 z sea colineal con el eje de la tubería el régimen laminar establece que el campo de
 2751 velocidades tiene una sola componente que depende sólo de la coordenada radial,
 2752 entonces:

$$2753 \quad \vec{v} = v_3(x_1)e_3.$$

2754 Si suponemos un flujo isotérmico e incompresible, la ecuación de continuidad
 2755 (4A.I.1) y la componente 3 del campo de velocidades (4A.I.5c) se transforma en:

$$2756 \quad 0 = -\rho \left(\frac{1}{x_1} \frac{\partial x_1 v_1}{\partial x_1} + \frac{1}{x_1} \frac{v_2}{x_2} + \frac{\partial v_3}{\partial x_3} \right) \quad (5.24)$$

$$2757 \quad \rho \left(\frac{\partial v_3}{\partial t} + v_1 \frac{\partial v_3}{\partial x_1} + \frac{v_2}{x_1} \frac{\partial v_3}{\partial \theta} + v_3 \frac{\partial v_3}{\partial x_3} \right) = \quad (5.25)$$

$$2758 \quad - \frac{\partial p}{\partial x_3} + \mu \Delta v_3 + f_{v3}$$

2759 Si aplicamos el hecho de que las soluciones que buscamos son incompresibles y
2760 laminares, las ecuaciones por resolver son

$$2761 \quad 0 = \frac{\partial v_3}{\partial x_3}, \quad 0 = -\frac{\partial p}{\partial x_3} + \mu \frac{1}{x_1} \frac{\partial}{\partial x_1} \left(x_1 \frac{\partial v_3}{\partial x_1} \right) + f_{v3}$$

2762 La primera de las ecuaciones indica que la componente 3 del campo de velocidades
2763 no puede depender de la coordenada axial (x_3). Si las fuerzas de volumen que están
2764 actuando sobre el fluido, se suponen conservativas, se las podrá agrupar con la
2765 presión en un solo término, ya que derivan de un potencial, el el caso de la fuerza
2766 de la gravedad definimos la presión generalizada como

$$2767 \quad \mathbb{P} = p - g_3 x_3$$

2768 resultando que la ecuación por resolver es:

$$2769 \quad 0 = -\frac{\partial \mathbb{P}}{\partial x_3} + \mu \frac{1}{x_1} \frac{\partial}{\partial x_1} \left(x_1 \frac{\partial v_3}{\partial x_1} \right)$$

2770 Si a esta ecuación la derivamos respecto de x_3 vemos inmediatamente que la com-
2771 ponente 3 del gradiente de la presión generalizada debe ser constante, ya que de la
2772 ecuación de continuidad sale que $\frac{\partial v_3}{\partial x_3} = 0$; resultando que la única variable indepen-
2773 diente del problema es x_1 , con lo cual las derivadas parciales se pueden cambiar
2774 por totales. Antes de encontrar la solución adimensionalizaremos la ecuación con
2775 el siguiente escalado:

$$2776 \quad x_1 = rR, \quad v_3 = U^* v, \quad Q = \frac{U^* R^2}{\pi} \mathcal{Q}.$$

2777 En este caso U^* es una velocidad característica del flujo, su velocidad media por
2778 ejemplo; a diferencia del problema ya estudiado del flujo de Couette, en este no
2779 hay una velocidad característica que imponga el movimiento de los contornos por
2780 lo tanto tomamos como velocidad característica

$$2781 \quad U^* = \frac{R^2 \Delta \mathbb{P}}{\mu L},$$

2782 Con $\Delta \mathbb{P}$ la caída de presión generalizada, una cantidad positiva, de tal manera que

$$2783 \quad \frac{\partial \mathbb{P}}{\partial x_3} = \frac{\Delta \mathbb{P}}{L}.$$

2784 Con esta elección para U^* resulta que el número de Poiseuille para este tipo de
2785 problemas, como ya habíamos discutido es 1. La ecuación por resolver resulta
2786 entonces:

$$2787 \quad 1 = \frac{1}{r} \frac{d}{dr} \left(r \frac{dv}{dr} \right).$$

2788 cuya solución es:

$$2789 \quad v(r) = \frac{r^2}{4} + C_1 \ln(r) + C_2$$

2790 las constantes C_1 y C_2 , se obtendrán de las condiciones de contorno que se im-
 2791 pongan. Como primer caso impondremos que se cumple la condición de no des-
 2792 lizamiento entre el fluido y el sólido, por lo tanto $v(1) = 0$, sin embargo reuqrimos
 2793 otra condición más LO primero que vemos en la solución encontrada es que tie-
 2794 ne un sumando logaritmico, el cual diverge si $r \rightarrow 0$ y la solución física no tiene
 2795 este comportamiento por lo tanto se pide que la solución sea acotada para $r \rightarrow 0$,
 2796 alternatively se suele invocar el principio de simetría el cual establece que la
 2797 velocidad del fluido es máxima en $r = 0$, o lo que es lo mismo $\frac{dv}{dr}|_{r=0} = 0$ obviamen-
 2798 te, ambas condiciones llevan al mismo resultado $C_1 = 0$. El campo de velocidades
 2799 vendrá dado, entonces, por:

$$2800 \quad v(r) = \frac{1}{4} (1 - r^2). \quad (5.26)$$

2801 **ANÁLISIS DEL FLUJO DE POISEUILLE** El caudal volumétrico Q que circula por la
 2802 tubería vendrá dado por:

$$2803 \quad Q = \int_0^1 v(r) 2\pi r dr = \frac{\pi}{8}.$$

2804 Con lo cual la velocidad media adimensional es $v_m = \frac{1}{8}$. Llevando a variables dimen-
 2805 sionales resulta que:

$$2806 \quad Q = \frac{\pi R^4}{8\mu} \frac{\Delta P}{L}.$$

2807 Que es la ley encontrada por Poiseuille en 1840 con $K'' = \frac{\pi}{2^4 8\mu}$. Otro parámetro
 2808 importante de calcular es el esfuerzo cortante que ejerce el fluido sobre la pared
 2809 sólida: $\tau_w \equiv -S_{zr}|_{r=1}$ con $\frac{\mu U^*}{R}$ como escala para los esfuerzos, resulta

$$2810 \quad \tau_w = \frac{1}{2}.$$

2811 En el cálculo de tuberías un parámetro importante es la determinación de la pér-
 2812 dida de energía que experimenta un fluido al moverse por una tubería recta. Un
 2813 simple análisis basado en el teorema de transporte de reynolds, permite evaluar
 2814 las pérdidas mencionadas mediante la expresión:

$$2815 \quad h_p = \frac{\Delta P}{\rho g}$$

2816 Donde h_p es la denominada altura de pérdidas y se modela por:

$$2817 \quad h_p = f \frac{L}{D} \frac{v_m^2}{2g}.$$

El factor f se denomina factor de fricción de Darcy y para el caso de flujo laminar puede ser evaluado exactamente, en efecto

$$f \frac{L}{2R} \frac{v_m^2}{2} = \frac{\Delta P}{\rho}.$$

Resolviendo para f tenemos

$$f = \frac{\Delta P}{\rho} \frac{4R}{Lv_m^2},$$

reacomodando esta expresión

$$f = \frac{\Delta P R^2}{L \mu} \frac{\mu}{\rho v_m 2R} \frac{8}{v_m},$$

y recordando que $v_m = U^*/8$, y la expresión para U^* resulta que

$$f = \frac{64}{Re_D}.$$

Para el factor de fricción existen otras expresiones, que difieren esencialmente en el factor numérico y esto se debe a que para armar el número de Reynolds se usan otras velocidades en lugar de la velocidad media.

5.1.3. FLUJO HELICOIDAL EN LA REGIÓN ANULAR ENTRE DOS CILINDROS CONCÉNTRICOS

Estudiaremos ahora el flujo de un fluido newtoniano que se genera en la región anular entre dos cilindros concéntricos, el interior de radio R_1 y el exterior de radio R_2 cuando el exterior está fijo y el interior tiene un doble movimiento: por un lado rota a velocidad angular constante ω y se traslada en la dirección de su eje a una velocidad constante V_3 . Los efectos de la aceleración de la gravedad los supondremos en la dirección del eje de los cilindros, para mantener la simetría del problema, es decir que la variable independiente sea solo la radial. este tipo de flujo se tiene las bombas tipo tornillo para la extrusión de polímeros o plásticos fundidos.

Considerando un sistema de referencia fijo al cilindro externo y empleando un sistema de coordenadas cilíndricas, el campo de velocidades se podrá escribir como:

$$\vec{v}(x_1) = v_2(x_1)\hat{e}_2 + v_3(x_1)\hat{e}_3$$

Esto significa que el movimiento del fluido se puede pensar como una superposición de dos. La veracidad de esta suposición está fuertemente emparentada con el carácter lineal de las ecuaciones que resultan en el caso en que el flujo sea laminar, dejando de ser válida cuando el flujo es turbulento. En el eje x_3 actúa la aceleración

2847 de la gravedad, por lo tanto definimos la presión generalizada de manera que:

$$2848 \quad \mathbb{P} = p - g_z$$

2849 El gradiente de esta presión tendrá dos componentes, una en la dirección axial, que
 2850 genera una fuerza de volumen que impulsa al fluido (que la provee la aceleración
 2851 de la gravedad o un gradiente externo) y una componente transversal que aporta
 2852 la aceleración centrípeta necesaria para que los elementos de fluido roten. Debido
 2853 a la forma funcional que se estableció para el campo de velocidades (solo depende
 2854 de la coordenada radial x_1), ni la presión generalizada ni la presión depende de la
 2855 coordenada axial (x_3), por lo tanto

$$2856 \quad \frac{\partial \mathbb{P}}{\partial x_3} = \frac{\Delta \mathbb{P}}{L}$$

2857 Las ecuaciones que determinan el campo de velocidades son la (4A.I.5c) y (4A.I.5b)
 2858 Haremos el escalado habitual:

$$2859 \quad r = x_1 R_1, \quad v_2 = v_\theta \omega R, \quad v_3 = v_z V_3, \quad p$$

2860 Las ecuaciones adimensionales resultantes son:

$$2861 \quad \frac{v_\theta^2}{r} = \frac{\mathcal{P}o \lambda}{\mathcal{R}e_\omega} \frac{\partial p}{\partial r} \quad (5.27)$$

$$2862 \quad 0 = \frac{1}{r} \frac{\partial}{\partial r} \left(r \frac{\partial v_\theta}{\partial r} \right) - \frac{v_\theta}{r^2} \quad (5.28)$$

$$2863 \quad 0 = -\mathcal{P}o + \frac{1}{r} \frac{\partial}{\partial r} \left(r \frac{\partial v_z}{\partial r} \right) \quad (5.29)$$

2865 en la ecuación (5.27) aparece un numero adimensional que puede pensarse como
 2866 el producto de tres: el numero de Poiseuill ($\mathcal{P}o$) el numero de reynolds calculado
 2867 con la velocidad transversal del cilindro interno ($\mathcal{R}e = \frac{\rho \omega R^2}{\mu}$) y el cociente λ entre la
 2868 velocidad de traslación del mismo cilindro y su velocidad transversal.

2869 La ecuación (5.28) tiene como solución

$$2870 \quad V_\theta(r) = \frac{C_{1\theta}}{r} + C_{2\theta} r$$

2871 mientras que la (5.29)

$$2872 \quad v_z(r) = -\frac{\mathcal{P}o}{4} r^2 + C_{1z} \ln r + C_{2z}$$

2873 Las cuatro constantes se deben obtener de las condiciones de contorno. Supondre-
 2874 mos que el fluido en contacto con las superficies sólidas cumple la condición de no

deslizamiento, entonces.

$$v_{\theta}(r=1) = 1; v_{\theta}(r=\kappa) = 0$$

$$v_z(r=1) = 1; v_z(r=\kappa) = 0$$

Con lo cual resulta:

$$\begin{aligned} C_{1\theta} &= \frac{\kappa^2}{1-\kappa^2}; & C_{2\theta} &= -\frac{1}{1-\kappa^2} \\ C_{1z} &= \frac{\mathcal{P}_0}{4} + 1; & C_{2z} &= -\frac{\frac{\mathcal{P}_0}{4}(1-\kappa^2) + 1}{\ln \kappa} \end{aligned}$$

Con lo cual la componentes del campo de velocidades vienen dadas por:

$$\begin{aligned} v_{\theta}(r) &= \frac{\kappa^2}{1-\kappa^2} \frac{1}{r} - \frac{r}{1-\kappa^2}, \\ v_z(r) &= -\frac{\mathcal{P}_0}{4} \left[1 - r^2 + \frac{(1-\kappa^2) \ln r}{\ln \kappa} \right] + \frac{\ln r}{\ln \kappa}. \end{aligned}$$

(A). ANÁLISIS DEL FLUJO HELICOIDAL

5.2. FLUJOS CON INTERFASES⁵

En estos flujos hay una superficie, no necesariamente plana, que por un lado, está en contacto con una superficie sólida o un fluido inmiscible con él y por otro con otro fluido. Este otro fluido, generalmente se lo denomina pasivo, (cuando las fuerzas viscosas son despreciables en esa interfase), y que generalmente es un gas. Este tipo de flujos son de gran interés tanto teórico como industrial, por ejemplo el proceso de ebullición del agua en una caldera, genera un flujo con interfases, el flujo de nafta y aire en el múltiple de admisión de un motor de combustión interna, el movimiento del petróleo en un yacimiento maduro son algunos ejemplos. Si los fluidos son miscibles, el sistema global no se encontrará en equilibrio termodinámico, y en general habrá flujo de masa a través de las interfases, la forma de las mismas dependerá fuertemente del estado dinámico y parámetros propios del sistema como lo es la tensión interfasial.

Otro tipo de flujos con interfases que tienen importancia son aquellos en los que aparte de dos fluidos, existe una fase sólida con contacto con ambos. En este caso aparece una línea, denominada de contacto, que en la actualidad no está bien descrita su dinámica y que tiene fundamental importancia en problemas de escurrimiento o dispersión de fluidos sobre superficies sólidas. En particular, si bien

⁵También se conoce estos flujos como multifásicos

para el fluido que está lejos de la línea de contacto se puede tomar como válida la condición de no deslizamiento, en las proximidades de esta, el fluido debe deslizar sobre el sólido. La complejidad de estos problemas exceden ampliamente los contenidos de estas notas y por ende serán dejados de lado. Sin embargo algunos casos particulares pueden ser atacados con los conocimientos adquiridos, en particular cuando las fases de fluidos son continuas, en el sentido que no tienen burbujas de la otra fase en su interior, y las superficies sólidas están completamente mojadas.

Comenzaremos estudiando la condición de contorno fluido– fluido:

$$[\sigma_{ij}]n_j^I + \frac{\partial \Upsilon}{\partial x_i} + \Upsilon \kappa n_i^I = 0, \quad (4.30)$$

Notemos que los saltos de los esfuerzos (tangenciales o normales, están asociados con: los gradientes del coeficiente de tensión superficial y la curvatura de la superficie. El coeficiente de tensión superficial en general es función de la temperatura (T) y, eventualmente, de la concentración (c) de algún químico disuelto, A primer orden en estas variables termodinámicas se podrá escribir:

$$\Upsilon(T, c) = \Upsilon_0 + \Gamma_T(T - T_0) + \Gamma_c(c - c_0)$$

y su gradiente será:

$$\frac{\partial \Upsilon}{\partial x_i} = \Gamma_T \frac{\partial T}{\partial x_i} + \Gamma_c \frac{\partial c}{\partial x_i} \quad (5.30)$$

si escalamos las variables del problema como

$$x_i = h\hat{x}_i, \quad \sigma_{ij} = \frac{\mu}{h^2 u^*} \hat{\sigma}_{ij}, \quad T = \frac{T - T_0}{T_0} \hat{T}, \quad c = \frac{c - c_0}{c_0} \hat{c}, \quad \Upsilon = \Upsilon_0 \hat{\Upsilon}$$

la ecuación (5.31) con la aproximación a primer orden para Υ se escribirá de manera adimensional:

$$[\hat{\sigma}_{ij}]n_j^I + \frac{h\Gamma_T T_0}{\mu u^*} \frac{\partial \hat{T}}{\partial \hat{x}_i} + \frac{h\Gamma_c c_0}{\mu u^*} \frac{\partial \hat{c}}{\partial \hat{x}_i} + \frac{\Upsilon_0 h}{\mu u^* \lambda} \hat{\Upsilon} \hat{\kappa} n_i^I = 0. \quad (5.31)$$

En esta ecuación se pueden distinguir cuatro números adimensionales:

$$\text{Número de Marangoni térmico: } \mathcal{M}_{aT} = \frac{h\Gamma_T T_0}{\mu u^*}$$

$$\text{Número de Marangoni concentración: } \mathcal{M}_{ac} = \frac{h\Gamma_c c_0}{\mu u^*}$$

$$\text{Número capilar: } \mathcal{C}a = \frac{\Upsilon_0}{\mu u^*}$$

$$\text{Número de Derjaguin: } \mathcal{D}e = \frac{h}{\lambda} = h \sqrt{\frac{\rho g}{\Upsilon_0}}$$

2934 La condición de contorno se escribirá entonces:

$$2935 \quad [\hat{\sigma}_{ij}] n_j^I + \mathcal{M} a_T \frac{\partial \hat{T}}{\partial \hat{x}_i} + \mathcal{M}_c \frac{\partial \hat{c}}{\partial \hat{x}_i} + \frac{\mathcal{D}e}{\mathcal{C}a} \hat{\Upsilon} \hat{\mathbf{k}} n_i^I = 0. \quad (5.32)$$

2936 Por lo tanto en los sistemas que están en equilibrio termodinámico ($\frac{\partial \hat{c}}{\partial \hat{x}_i} = 0$) e iso-
 2937 térmicos ($\frac{\partial \hat{T}}{\partial \hat{x}_i} = 0$) estos términos no intervienen sólo tendremos los efectos de la
 2938 tensión superficial, vía la curvatura de la superficie, en los esfuerzos normales, la
 2939 cual es nula si la interfase es plana. Si el sistema está fuera del equilibrio, pero se
 2940 cumple que los números de Marangoni son pequeños, al igual que el cociente entre
 2941 el número de Derjaguin y el capilar, se podrá suponer que el tensor de tensiones es
 2942 continuo en la interfase. Para un fluido con reología newtoniana las condición de
 2943 contorno sobre la interfase serán:

$$2944 \quad \mu^I \frac{\partial v_1^I}{\partial x_2} - \mu^{II} \frac{\partial v_1^{II}}{\partial x_2} = 0, \quad (5.33)$$

$$2945 \quad p^I - p^{II} = 0. \quad (5.34)$$

2947 5.2.1. PELÍCULA DELGADA CAYENDO POR UN PLANO INCLINADO

2948 Este ejemplo es una aplicación sencilla a los modernos sistemas de recubrimiento
 2949 superficial. En este proceso, mediante el escurrimiento de una delgada capa de
 2950 fluido se recubre una superficie la cual puede estar inmóvil o no. El fluido en
 2951 contacto con la superficie es generalmente un líquido y el que está por sobre él será
 2952 un gas, en estas condiciones el sistema será gravitatoriamente estable (el fluido
 2953 más denso se halla “debajo” del menos denso), sin embargo en la interfase se
 2954 podrán generar ondas que perturben y saquen al sistema de la solución que aquí
 2955 encontraremos. Por otra parte físicamente, la capa de fluido tiene un principio
 2956 y un fin donde las fuerzas dominantes pueden ser distintas a las que hay en el
 2957 medio; es decir habrá una región central donde predominan las fuerzas viscosas
 2958 y gravitatorias, pero en la entrada y la salida de la película las fuerzas capilares
 2959 serán de importancia. Por otro lado, su espesor quedará determinado por el caudal
 2960 circulante y este a su vez vendrá dado por la fuerza que predomine, en particular
 2961 habrá dos regímenes, uno dominado por la fuerza gravitatoria y otro por las fuerzas
 2962 capilares. Nosotros supondremos que el mismo se mantiene constante.

2963 Estudiar un sistema como el que se presenta en la figura 5.12 en régimen esta-
 2964 cionario, laminar, isotérmico e incompresible para dos fluidos newtonianos. Las
 2965 ecuaciones a resolver, con el sistema de coordenadas presentado en la figura 5.12
 2966 son: Supondremos también que $\rho^I \gg \rho^{II}$ y $\mu^I \gg \mu^{II}$ lo cual representaría el caso en el
 2967 que un líquido se mueve sobre el plano inclinado y por encima de él existe una fase

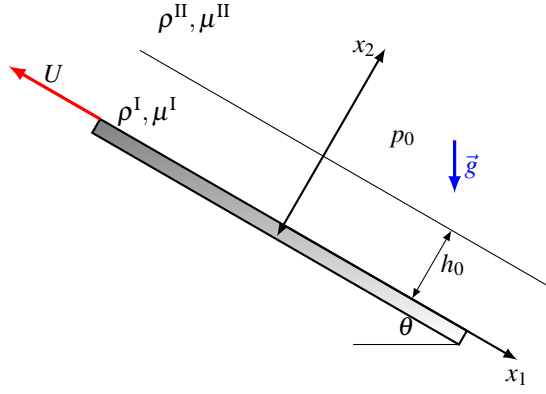


Figura 5.12.: Esquema

$$\vec{v}^{I,II} = v^{I,II}(x_2)\hat{x}_1 \quad (5.35a)$$

$$0 = -\frac{\partial p^I}{\partial x_1} + \rho^I g_1 + \mu^I \frac{\partial^2 v_1^I}{\partial x_2^2} \quad (5.35b)$$

$$0 = -\frac{\partial p^I}{\partial x_2} + \rho^I g_2 \quad (5.35c)$$

$$0 = -\frac{\partial p^{II}}{\partial x_1} + \rho^{II} g_1 + \mu^{II} \frac{\partial^2 v_1^{II}}{\partial x_2^2} \quad (5.35d)$$

$$0 = -\frac{\partial p^{II}}{\partial x_2} + \rho^{II} g_2 \quad (5.35e)$$

gaseosa. Las soluciones laminares presentarían un capo de velocidades que verifica que: $v_j^{I,II} = 0$ si $j \neq 1$. Las condiciones de contorno a aplicar a estas ecuaciones son: en la superficie interfase las ecuaciones (5.33) y (5.34) sobre la superficie sólida la condición de no deslizamiento

$$v^I(y=0) = \mathcal{U}$$

La condición de contorno (5.33) se puede escribir como

$$\frac{\partial v_1^I}{\partial x_2} = \frac{\mu^{II}}{\mu^I} \frac{\partial v_1^{II}}{\partial x_2} \approx 0$$

en virtud de la relación de viscosidades. Esto quiero decir que el fluido más denso no arrastra al fluido menos denso, muchas veces esto se comenta como que el fluido superior es “dinámicamente pasivo”, es decir no se mueve; como consecuencia de esto, sobre la interfase no se verifica la condición de no deslizamiento dada por la (4.29).

Comencemos analizando el campo de presiones. En la fase II, esperamos que debido a su baja densidad, en la región que es válido el modelo que estamos desarrollando, la presión sea constante, es decir que la superficie libre sea una superficie isobara, por lo tanto $\frac{\partial p^{II}}{\partial x_1} = 0$, lo mismo ocurrirá en la fase I, aunque por otras causas, en efecto, si derivamos la ecuación (5.35b) respecto de la coordenada x_1 resulta que $\frac{\partial^2 p^I}{\partial x_1^2} = 0$, es decir que $\frac{\partial p^I}{\partial x_2}$ es constante; para evaluar este gradiente tomamos dos puntos sobre la superficie libre de la fase I, por continuidad de las presiones (ecuación (5.34)) resulta que este gradiente es también nulo, con lo cual la presión resulta ser constante sobre los planos $x_2 = cte$. La ecuación (5.35c) indica que el campo de presiones en la fase I varía linealmente con la coordenada x_2 (es un campo hidrostático pero las superficies isobáricas no son perpendiculares a la dirección

2991 de g sino paralelas al plano sólido. El campo de presiones queda:

$$2992 \quad p(x_2) = \begin{cases} p_0 & \text{si } h_0 < x_2 \\ p_0 + \rho^I g(h_0 - x_2) & \text{si } h_0 > x_2 \end{cases} \quad (5.36)$$

2993 realicemos el siguiente escalado de las ecuaciones:

$$2994 \quad x_2 = y h_0 \quad v_2 = u^* v$$

2995 Donde u^* es una velocidad característica del problema que puede tomarse como U
 2996 si el plano es móvil o la velocidad media del flujo si no lo es. Las ecuaciones por
 2997 resolver y las condiciones de contorno resultan

$$2998 \quad 0 = \frac{1}{\mathcal{F}r^2} + \frac{1}{\mathcal{R}e} \frac{\partial^2 v}{\partial y^2} \quad (5.37)$$

$$2999 \quad \mathcal{U} = v(y=0) \quad (5.38)$$

$$3000 \quad 0 = \left. \frac{\partial v}{\partial y} \right|_{y=1} \quad (5.39)$$

3001

3002 Los números adimensionales que intervienes son, por un lado el numero de Froude
 3003 $\mathcal{F}r = \frac{u^*}{\sqrt{g_x h_0}}$ y el numero de Reynolds $\mathcal{R}e = \frac{\rho^I u^* h_0}{\mu^I}$. Notemos que aunque en este pro-
 3004 blema la solución depende del cociente $\frac{\mathcal{R}e}{\mathcal{F}r^2} = \mathcal{P}o$ en un problema no estacionario
 3005 dependerá del numero de Froude y el de Reynolds por separado. La solución del
 3006 problema resulta ser

$$3007 \quad v(y) = \mathcal{P}o y \left(1 - \frac{y}{2}\right) + \mathcal{U}$$

3008 Notemos que en este caso $\mathcal{P}o$ siempre es positivo y \mathcal{U} puede ser tanto positivo
 3009 como negativo. En la figura se presenta un gráfico de la velocidad como función
 3010 de la posición y para varios valores de $\mathcal{P}o$. A partir de esta expresión podemos
 3011 calcular varios parámetros del problema, por ejemplo El caudal la velocidad sobre
 3012 la superficie libre v_s y el esfuerzo cortante sobre la pared τ_w

$$3013 \quad \mathcal{Q} = \frac{1}{3} \mathcal{P}o + \mathcal{U}$$

$$3014 \quad v_s = \frac{1}{2} \mathcal{P}o + \mathcal{U}$$

$$3015 \quad \tau_w = \mathcal{P}o(1 - \mathcal{U})$$

3016

3017 Notemos que el esfuerzo cortante sobre la pared es esencialmente el gradiente de
 3018 presión.

3019 5.2.2. FLUJO DE COUETTE-POISEUILLE ESTRATIFICADO

3020 Estudiaremos el problema ya presentado en la sección 5.1.1-(a) con el agregado de
 3021 una interfase fluido-fluido en el interior del plano (ver figura 5.13) . Cada fase tiene
 3022 un caudal $q^{I,II}$ y ocupa una región caracterizada por un ancho $d^{I,II}$. En problemas de
 3023 interés industrial, en general, se conocen los caudales y no la geometría interna del
 3024 flujo, para dar una vuelta a estos problemas desarrollaremos la solución del flujo
 3025 base y la particularizaremos para determinar, los parámetros icógnitas

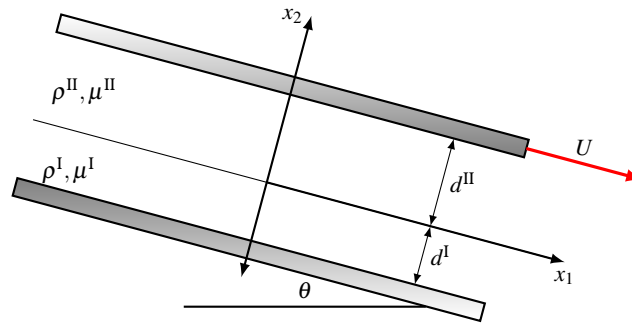


Figura 5.13.: Esquema para el estudio del flujo de Couette-Poiseuille estratificado

3026 Las ecuaciones que rigen la dinámica del flujo son las presentadas en (5.35). Con
 3027 las condiciones de contorno dadas por el no deslizamiento sobre las superficies
 3028 sólidas y en la interfase fluido-fluido suplementadas por la continuidad de los es-
 3029 fuerzos cortantes y normales en ella (ecuaciones (5.33) y (5.34)). Como siempre
 3030 llevaremos el problema a una forma adimensional utilizando las escalas:

$$3031 \quad x_2 = yD \quad v_1^{I,II} = u^{I,II} u^{I,II*}$$

3032 Donde $u^{I,II*} = \frac{q^{I,II}}{D}$ es la denominada velocidad superficial, que difiere de la velocidad
 3033 media de cada fase, pero que se puede evaluar con los datos del problema.

$$3034 \quad 0 = -\frac{\mathcal{P}o}{mq} + \frac{\mathcal{R}e}{mq\mathcal{F}r^2}(r-1) + \frac{\partial^2 u^I}{\partial y^2}$$

$$3035 \quad 0 = -\mathcal{P}o + \frac{\partial^2 u^{II}}{\partial y^2}$$

3037 Donde $m = \frac{\mu^I}{\mu^{II}}$, $r = \frac{\rho^I}{\rho^{II}}$, $q = \frac{q^I}{q^{II}}$, $\mathcal{P}o = \frac{D^2 \Delta P}{u^{II*} \mu^{II}}$, $\mathcal{R}e = \frac{\rho^{II} u^{II*} D}{\mu^{II}}$ y $\mathcal{F}r^2 = \frac{(u^{II*})^2}{g_1 D}$. Notemos que
 3038 los números adimensionales involucrados: el de Poiseuille, el de Reynolds y el de
 3039 Froude, están calculados sobre los parámetros del flujo II. Las soluciones de estas

ecuaciones son:

$$u^I(y) = \left[\mathcal{Po} - \frac{\mathcal{Re}}{\mathcal{F}r^2}(r-1) \right] \frac{y^2}{2mq} + C_1^I y + C_2^I$$

$$u^II(y) = \frac{\mathcal{Po}}{2} y^2 + C_1^{II} y + C_2^{II}$$

Para hallar las constantes involucradas, hay que imponer las condiciones de contorno:

$$u^I(y = -n) = 0 \quad (5.40)$$

$$u^II(y = 1 - n) = \mathcal{U} \quad (5.41)$$

$$u^I(y = 0) = u^II(y = 0) \quad (5.42)$$

$$m \frac{\partial u^I}{\partial y} \Big|_{y=0} = \frac{\partial u^II}{\partial y} \Big|_{y=0} \quad (5.43)$$

donde $n = d_1/D$ y $\mathcal{U} = \frac{U}{u^*}$. Resolviendo resulta para las constantes

$$C_1^I = \frac{\mathcal{Po}(mq(n-1)^2 - n^2)}{2mq(m(n-1) - n)} + \frac{\mathcal{Re}}{\mathcal{F}r^2} \frac{n^2(r-1)}{2mq(m(n-1) - n)} - \frac{\mathcal{U}}{m(n-1) - n}$$

$$C_1^{II} = mC_1^I$$

$$C_2^I = \frac{\mathcal{Po}n(n-1)(q(n-1) - n)}{2q(m(n-1) - m)} + \frac{\mathcal{Re}}{\mathcal{F}r^2} \frac{n^2(r-1)(n-1)}{2q(m(n-1) - m)} - \frac{\mathcal{U}}{m(n-1) - n}$$

$$C_2^{II} = C_2^I$$

3057 Que luego de reordenar queda para los campos de velocidades:

$$\begin{aligned}
 u^I(y) = & \frac{\mathcal{P}o}{2mq} \left[y^2 + \frac{mq(n-1)^2 - n^2}{m(n-1) - n} y + \frac{mn^2(n-1)}{m(n-1) - n} \right] + \\
 & \frac{\mathcal{R}e(r-1)}{2mq} \left[-y^2 + \frac{n^2}{m(n-1) - n} y + \frac{mn^2(n-1)}{m(n-1) - n} \right] - \\
 & \frac{\mathcal{U}}{m(n-1) - n} [y + 1]
 \end{aligned}
 \tag{5.44}$$

$$\begin{aligned}
 u^{II}(y) = & \frac{\mathcal{P}o}{2} \left[y^2 + \frac{mq(n-1)^2 - n^2}{q(m(n-1) - n)} y + \frac{(n-1)n(q(n-1) - n)}{q(m(n-1) - n)} \right] + \\
 & \frac{\mathcal{R}e(r-1)}{2mq} \left[-y^2 + \frac{n^2}{m(n-1) - n} y + \frac{mn^2(n-1)}{m(n-1) - n} \right] - \\
 & \frac{\mathcal{U}}{m(n-1) - n} [my + 1]
 \end{aligned}
 \tag{5.45}$$

$$\text{Estas expresiones están mal} \tag{5.46}$$

$$\text{pues en } 1 - n \text{ tiene que ser } U \text{ y en } y = -n \tag{5.47}$$

$$\text{tiene que ser cero.} \tag{5.48}$$

3064 Un estudio paramétrico de éste campo de velocidades resulta complicado pues, a
 3065 diferencia con el caso del fluido monofásico estudiado anteriormente ahora inte-
 3066 nen mayor cantidad de parámetros: $\mathcal{P}o$, \mathcal{U} , y_s y m .

3067 (A). ANÁLISIS DEL FLUJO ESTRATIFICADO

3068 Lo primero que debemos notar es que las soluciones halladas no dependen de la
 3069 densidad, cosa que evidentemente resulta chocante., y efectivamente, las solucio-
 3070 nes halladas no necesariamente se encuentran en la naturaleza ya que las mismas
 3071 se inestabilizan y el flujo cambia su dinámica. En la interfase entre los dos flui-
 3072 dos se generarán ondas que bien pueden ser atenuadas, o crecer indefinidamente
 3073 causando que el fluido más pesado caiga.

3074 5.2.3. FLUJO DE POISEUILLE ESTRATIFICADO

3075 5.2.4. PELÍCULA DELGADA CAYENDO POR UN PLANO INCLINADO

3076 Este ejemplo es una aplicación sencilla de los modernos sistemas de recubrimien-
 3077 to superficial. En este proceso, mediante el escurrimiento de una delgada capa de
 3078 fluido se recubre una superficie la cual puede estar inmóvil o no. El fluido en con-
 3079 tacto con la superficie es generalmente un líquido y el que está por sobre él será un

gas, en estas condiciones el sistema será gravitatoriamente estable, sin embargo en la interfase se podrán generar ondas que perturben y saquen al sistema de la solución que aquí encontraremos. Partamos de la base de estudiar soluciones de las ecuaciones (5.35b) y (5.35d) bajo la hipótesis que $\mu^I \gg \mu^{II}$. En este caso nos concentraremos en las condiciones de contorno que se deben aplicar a los campos de velocidades en la interfase. Sobre la superficie sólida supondremos que vale el principio de no deslizamiento, por lo tanto, sobre él la velocidad debe ser la del plano.

$$v^I(y=0) = \mathcal{U}$$

En la interfase supondremos que la velocidad es continua,

$$v^I(y=h(x)) = v^{II}(y=h(x)),$$

y si los efectos de curvatura se pueden despreciar ($h(x) = cte$), las condición de empalme entre el campo de velocidades del liquido y del fluido superior será:

5.2.5. PELÍCULA DELGADA CAYENDO AXIALMENTE POR EL EXTERIOR DE UN CILINDRO

5.2.6. FLUJO COAXIAL CILÍNDRICO ESTRATIFICADO

5.3. FLUJOS ISOTÉRMICOS CON DESLIZAMIENTO

En esta sección estudiaremos flujos en los cuales la condición de no deslizamiento no es adecuada. Estos flujos se dan cuando el fluido es un gas a baja presión o cuando las dimensiones del canal por el que circula el fluido son comparables con el camino libre medio molecular.

5.3.1. FLUJO DE COUETTE-POISEUILLE CON DESLIZAMIENTO (“slip”).

Habíamos especificado que para sistemas no macroscópicos el fluido podía deslizar sobre la superficie, es decir podía haber una velocidad relativa entre la placa y el fluido, el en caso que estamos tratando significará que:

$$u(y=1) - \mathcal{U} = u_{desl1}, \quad u(y=-1) = u_{desl2}.$$

Donde u_{desli} son las velocidades de deslizamiento sobre la placa i ($i=1$ para la superior e $i=2$ para la inferior). Recordemos que la velocidad de deslizamiento se modela por (4.25).

Para gases a baja presión, la teoría cinética permite calcular la longitud de despla-

3110 zamiento λ_v , sin embargo para líquidos no hay modelos robustos y su conocimiento
3111 se basa en mediciones de caudal como veremos más adelante.

3112 La única modificación que se debe hacer en el modelo es el cálculo de las constantes
3113 C_{iv} ya que las ecuaciones no cambian, es decir hay que cambiar la ecuación (5.5d)
3114 por:

$$\begin{aligned} 3115 \quad u(y=1) - \mathcal{U} &= \lambda_{1v} \left. \frac{\partial u}{\partial n} \right|_{y=1} \\ 3116 \quad u(y=-1) &= \lambda_{2v} \left. \frac{\partial u}{\partial n} \right|_{y=-1}. \end{aligned}$$

3118 Al haber dos distancias de desplazamiento distintas, se deja la posibilidad que la
3119 interacción entre el fluido y la placa sea diferente en cada una de ellas, es decir,
3120 puedan ser de distinto material. Hay que tener en cuenta que sobre la placa 1, la
3121 normal es $-j$ y que por lo tanto:

$$3122 \quad \left. \frac{\partial u}{\partial n} \right|_{y=1} = - \left. \frac{du}{dy} \right|_{y=1} = -(\mathcal{P}o + C_{1v}),$$

3123 y para la placa 2, la derivada normal es directamente la derivada de u respecto de
3124 y , por lo tanto las condiciones de contorno se escribirán como:

$$\begin{aligned} 3125 \quad \frac{\mathcal{P}o}{2} + C_{1v} + C_{2v} &= \mathcal{U} - \lambda_{1v}(\mathcal{P}o + C_{1v}), \\ 3126 \quad \frac{\mathcal{P}o}{2} - C_{1v} + C_{2v} &= \lambda_{2v}(-\mathcal{P}o + C_{1v}). \end{aligned}$$

3128 Resolviendo para C_{iv} y ordenando sale que:

$$\begin{aligned} 3129 \quad C_{1v} &= \frac{\mathcal{U} - \mathcal{P}o(\lambda_{1v} - \lambda_{2v})}{2 + \lambda_{1v} + \lambda_{2v}}, \\ 3130 \quad C_{2v} &= \frac{1 + \lambda_{2v}}{2 + \lambda_{1v} + \lambda_{2v}} \mathcal{U} + \left(\frac{(\lambda_{2v} - \lambda_{1v})(1 + \lambda_{2v})}{(2 + \lambda_{1v} + \lambda_{2v})} - (1 + 2\lambda_{2v}) \right) \frac{\mathcal{P}o}{2}. \end{aligned}$$

3132 Notemos que si se cumple la condición de no deslizamiento ($\lambda_1 = \lambda_2 = 0$) las cons-
3133 tantes C_{iv} son las mismas que las encontradas en el caso macroscópico. Además,
3134 los coeficientes se ven modificados no sólo por la existencia del deslizamiento, co-
3135 mo por la diferencia en la longitud de deslizamiento en cada placa visible en los
3136 términos que contienen $\lambda_{1v} - \lambda_{2v}$.

3137 Para facilitar el análisis supondremos que la interacción del fluido y el sólido es la

misma en cada placa de manera que $\lambda_{1v} = \lambda_{2v} = \lambda$. Por lo tanto se tendrá que:

$$u(y) = \frac{\mathcal{P}o}{2}y^2 + \frac{\mathcal{U}}{2(1+\lambda)}y + \frac{\mathcal{U} - \mathcal{P}o}{2} - \lambda \mathcal{P}o,$$

$$Q = -\left(\frac{2}{3} + 2\lambda\right) \mathcal{P}o + \mathcal{U},$$

$$\varphi = \left(\mathcal{P}oy + \frac{\mathcal{U}}{2(1+\lambda)}\right)^2.$$

Podemos observar, inmediatamente, que la existencia del no deslizamiento aumenta la velocidad máxima, el caudal y disminuye la disipación por unidad de volumen. Claramente, la condición de fijar la velocidad al sólido genera disipación. Recordemos que la disipación es mayor en las zonas donde la velocidad es menor.

En la figura 5.15 podemos ver el perfil de velocidad para un número de Poiseuille $\mathcal{P}o = -5$ y diferentes valores de la longitud de deslizamiento. Observamos que a mayor valor del parámetro λ mayor es la velocidad de deslizamiento. Se puede pensar que el perfil de velocidades está formado por una distribución uniforme (con el valor de la velocidad de desplazamiento en el plano inferior), superpuesto con perfil de velocidad de no deslizamiento; esta claro, entonces el porqué aumenta el caudal ya que al caudal de no deslizamiento se le suma el de este flujo uniforme.

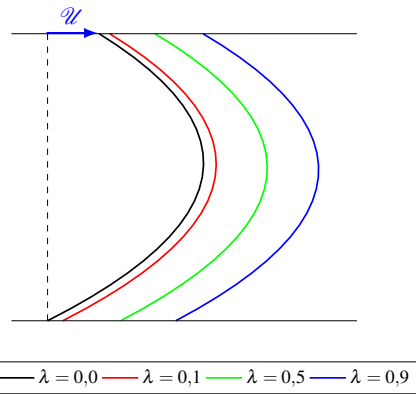


Figura 5.14.: Perfiles de velocidad de un flujo de Couette-Poiseuille con deslizamiento para varios valores del parámetro λ .

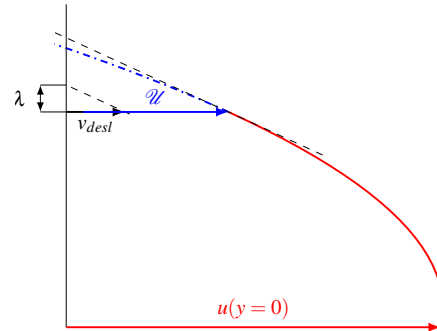


Figura 5.15.: Detalle del perfil de velocidad de un flujo de Couette-Poiseuille con deslizamiento.

En la figura 5.15 podemos ver un detalle del campo de velocidades en la cercanía del plano 1, es decir, el móvil, para $\mathcal{P}o = -5$ y $\lambda = \frac{1}{8}$. En línea de trazo y punto está prolongado el perfil de velocidades y en línea de trazos, una paralela a su tangente en $y = +1$ sobre esta recta se establece que:

$$u_{desl} = \lambda \left| \frac{\partial u}{\partial y} \right|$$

Podemos observar que la mencionada recta y la prolongación, no se anulan en el mismo lugar, es decir, la prolongación del campo de velocidades (trazo raya-punto) se anula a mayor “profundidad” que la correspondiente tangente¹⁴. Debemos entender claramente, el uso del término hipotético ya que dentro de la placa no hay movimiento de fluido y por ende la extensión de los perfiles, es sólo un artificio matemático. En la figura ?? se nota que la velocidad del fluido sobre la superficie se puede pensar como la suma de dos, la propia de la placa (la velocidad que tendría el fluido con la condición de no deslizamiento) y la deslizamiento, por lo tanto, el flujo uniforme que habíamos “pronosticado antes”, no es otra cosa que un flujo uniforme con velocidad v_{despl} .

5.3.2. FLUJO DE POISEUILLE CON DESLIZAMIENTO.

En esta sección se estudiará el flujo de Poiseuille cuando la condición de no deslizamiento no se cumple. Se estudiarán dos casos en el primero se determinará a partir del caudal medido en un ensayo, cual es la longitud de deslizamiento, y en una segundo caso se determinará el campo de velocidades para el caso en que la velocidad de deslizamiento se manifieste cuando el esfuerzo cortante sobre la pared supera un cierto valor crítico.

(A). DETERMINACIÓN DE LA LONGITUD DE DESLIZAMIENTO PARA EL MODELO DE DESLIZAMIENTO DE NAVIER

Si la condición de no deslizamiento no se cumple la solución obtenida no es válida. En la sección 5.3.1 se resolvió el problema plano cuando se conoce la longitud de deslizamiento, ahora iremos por un camino más tecnológico mediante el cual podremos dar una expresión para evaluar esta longitud, en efecto supondremos que la solución, con la condición de deslizamiento se expresa como:

$$v_s(r) = v_{ns} + v_{desl}$$

con v_{ns} la solución obtenida con la condición de no deslizamiento (ecuación (5.26)) y v_{desl} la velocidad de deslizamiento es decir:

$$v_s(r) = -\frac{1}{4}(1-r^2) + v_{desl}.$$

¹⁴Cabe aclarar que en algunos libros de mecánica de fluido, y en varios sitios de Internet se presenta la distancia de deslizamiento con un perfil lineal de velocidades, de manera que la prolongación de la tangente y la prolongación del perfil son la misma curva, con esta presentación queda la errónea idea de que la distancia de deslizamiento es la distancia a la cual se anularía el hipotético perfil de velocidades prolongado sobre el sólido, lo cual en general es falso.

El caudal que se obtendría con este campo de velocidades sería:

$$\mathcal{Q}_s = \left(\frac{1}{8} + v_{desl} \right) \pi.$$

Claramente mayor que el que se obtendría si la condición de no deslizamiento se cumpliera, en otras palabras, el deslizamiento del fluido en la superficie sólida de la tubería genera un aumento del caudal en una cantidad πv_{desl} , por lo tanto si \mathcal{Q}_{exp} es el caudal medido se puede evaluar la velocidad de desplazamiento como:

$$v_{desl} = \frac{\mathcal{Q}_{exp}}{\pi} - \frac{1}{8}$$

con este valor y empleando la relación (4.25) se obtiene la longitud de desplazamiento (Λ , adimensionalizada con el radio de la tubería) como:

$$\Lambda = 2 \left(\frac{\mathcal{Q}_{exp}}{\pi} - \frac{1}{8} \right).$$

(B). FLUJO DE POISEUILLE CON DESLIZAMIENTO CON LÍMITE DE FLUENCIA.

En aplicaciones industriales donde se transporta fluidos complejos, aún sin ser no newtonianos, la velocidad de deslizamiento se pone de manifiesto cuando el esfuerzo cortante sobre la pared supera un cierto valor crítico (límite de fluencia). Esta sección está basada en el trabajo de **Kaoullas2013** El modelo de la velocidad de deslizamiento es, en este caso¹⁵

$$v_{desl}^* = \begin{cases} 0 & \text{si } \tau_w^* \leq \tau_c^* \\ \lambda_v^* (\tau_w^* - \tau_c^*) & \text{si } \tau_w^* > \tau_c^* \end{cases} \quad (5.49)$$

La introducción de este modelo incluye, además de un parámetro con dimensiones de longitud (λ^*) otro con dimensiones de fuerza por unidad de superficie τ_c^* , por lo tanto habrá otra posibilidad para obtener una velocidad característica, la usada anteriormente basada en el gradiente de presión o esta otra basada en el esfuerzo cortante:

$$U^* = \frac{\tau_c^* R}{\mu}$$

Por el análisis que realizaremos más adelante convendrá reescalar las ecuaciones en base a estas variables:

$$x_1 = rR, \quad v_3 = \frac{\tau_c^* R}{\mu} v, \quad \frac{\Delta p}{L} = \frac{\mathcal{P}o \tau_c^*}{R}, \quad \tau^* = \tau \tau_c^*, \quad \lambda = \Lambda R, \quad Q = \frac{\tau_c^* R^3}{\mu \pi} \mathcal{Q}. \quad (5.50)$$

¹⁵en este caso las variables con asterisco son dimensionales

3214 donde $\mathcal{P}o$ es el número de Poiseuille quedando por resolver:

$$3215 \quad -\mathcal{P}o = \frac{1}{r} \frac{d}{dr} \left(\frac{dv}{dr} \right)$$

3216 Esta ley nos indica que habrá un valor de crítico G por encima del cual habrá desli-
 3217 zamiento y por debajo del cual vale la solución sin deslizamiento Las ecuaciones a
 3218 resolver son las mismas tratadas en las secciones anteriores, solo se modifican las
 3219 condiciones de contorno. Como el parámetro que fija el régimen (deslizamiento o
 3220 no) es el gradiente de presión, es conveniente escribir las condiciones de contorno
 3221 en término de este valor. Teniendo en cuenta que $\tau_w = -\frac{dv_{desl}}{dr} = -\frac{\mathcal{P}o}{2}$ tendremos las
 3222 condiciones de contorno:

$$3223 \quad \left. \frac{dv}{dr} \right|_{r=1} = 0$$

$$3224 \quad v(r=1) = \begin{cases} 0 & \text{si } \mathcal{P}o \leq \mathcal{P}o_c \\ -\Lambda \left(\left. \frac{dv}{dr} \right|_{r=1} + 1 \right) & \text{si } \mathcal{P}o > \mathcal{P}o_c \end{cases}$$

3226 La expresión para el campo de velocidades resulta ser:

$$3227 \quad v(r) = -\frac{\mathcal{P}o}{4} r^2 + C_1 \ln(r) + C_2$$

3228 Por lo discutido anteriormente o la condición de simetría $C_1 \equiv 0$ Resolviendo para
 3229 C_2 llegamos a que el campo de velocidades es:

$$3230 \quad v(r) = \begin{cases} \frac{\mathcal{P}o}{4} (1 - r^2) & \text{si } \mathcal{P}o \leq \mathcal{P}o_c \\ \frac{\mathcal{P}o}{4} (1 + 2\Lambda - r^2) - \Lambda & \text{si } \mathcal{P}o > \mathcal{P}o_c \end{cases} \quad (5.51)$$

3231 El valor de $\mathcal{P}o_c$ se fija, ahora con la condición $\tau_w = \tau_c$ resultando $\mathcal{P}o_c = 2$. El caudal
 3232 vendrá dado por:

$$3233 \quad \mathcal{Q} = \begin{cases} \frac{\mathcal{P}o}{8} & \text{si } \mathcal{P}o \leq 2 \\ \frac{\mathcal{P}o}{8} (1 + 4\Lambda) - \Lambda & \text{si } \mathcal{P}o > 2 \end{cases} \quad (5.52)$$

3234 EL parámetro Λ se denomina número de deslizamiento, cuanto más grande sea
 3235 significa que los efectos del deslizamiento serán más importantes. En la figura se
 3236 muestra la relación que existe entre el caudal que circula y el número el número
 3237 de Poiseuille. Si $\Lambda = 0$ tenemos el flujo de Poiseuille estudiado anteriormente, pero
 3238 si $\Lambda > 0$ el caudal se incrementa más rápidamente con el número de Poiseuille. Es
 3239 importante notar que en el caso del flujo de Poiseuille estudiado anteriormente (sin
 3240 deslizamiento) se había llegado a un caudal constante, en realidad la manera de
 3241 adimensionalizar el problema escondió al número de Poiseuille, la incorporación en
 3242 el modelo de un aprámetro físico extra como es la tensión de fluencia, cambia la
 3243 naturaleza dimensional del problema, ahora hay dos números Pi independientes:

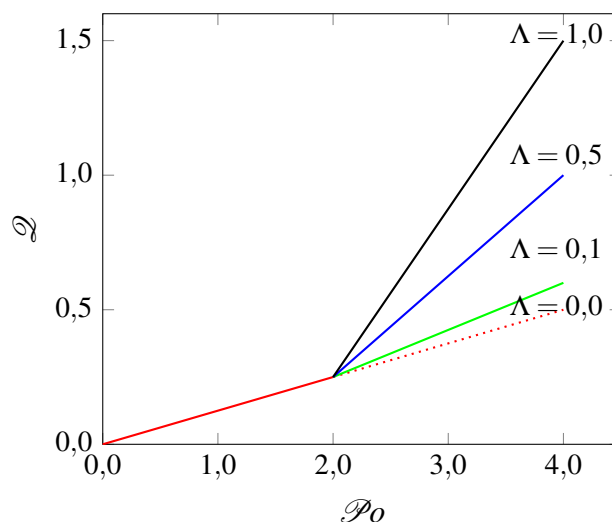


Figura 5.16.: Relación caudal número de Poiseuille para varios valores del parámetro Λ .

3244 Po y Λ .

3245 5.4. FLUJOS NO ESTACIONARIOS

3246 A continuación estudiaremos algunos problemas no estacionarios, ya sea en geo-
 3247 metría cartesiana u otra, pero que la matemática requerida para su solución se
 3248 mantenga dentro de los niveles que requiere el curso. Para uniformizar la notación
 3249 usaremos x_0 cuando nos refiramos a la variable dimensional tiempo.

3250 5.4.1. PRIMER PROBLEMA DE STOKES: PLANO QUE ARRANCA 3251 SÚBITAMENTE

3252 Este conocido problema lo resuelve por primera vez Stokes en el siglo XIX¹⁶. Consiste
 3253 en determinar el campo de velocidades que se genera en un fluido semi-infinito por
 3254 el movimiento súbito de un plano. Supondremos que el fluido ocupa el semiespacio
 3255 $x_2 > 0$, se encuentra inicialmente en reposo y que el plano arranca subitamente con
 3256 velocidad en la dirección del eje x_1 . Sobre el plano se supone se cumple la condición
 3257 de no deslizamiento. Bajo la aproximación de flujo laminar se tendrá la ecuación y

¹⁶También se conoce con el nombre de problema de Rayleigh

3258 las condiciones de contorno e iniciales:

$$3259 \quad \rho \frac{\partial v_1}{\partial x_0} = \mu \frac{\partial^2 v_1}{\partial x_2^2} \quad (5.53)$$

$$3260 \quad v(x_2, 0) = 0, \quad (5.54)$$

$$3261 \quad v(x_2 \rightarrow \infty, x_0) = 0 \quad (5.55)$$

$$3262 \quad v(0, x_0) = V_0 \quad t > 0. \quad (5.56)$$

3264 La ecuación (5.53) se puede resolver empleando la técnica de la transformada de
3265 laplace¹⁷, pero nosotros tomaremos un camino más físico empleando el análisis
3266 dimensional. el campo de velocidades dependerá, en principio de

$$3267 \quad v_1(x_2, x_0, \rho, \mu, V_0)$$

3268 Notemos que este problema no tiene ni longitudes características (el fluido ocupa
3269 una región infinita), ni tiene tiempos característicos (el plano arranca subitamente).
3270 De la inspección de las ecuaciones con sus condiciones iniciales y de contorno
3271 surge que la velocidad no depende de ρ y μ por separado sino que depende de su
3272 cociente $\nu = \frac{\mu}{\rho}$, quedando entonces el modelo dimensional:

$$3273 \quad v_1(x_2, x_0, \nu, V_0)$$

3274 El análisis dimensional nos indica que hay sólo un numero Π independiente

$$3275 \quad \frac{v_1}{V_0} = f\left(\frac{x_2}{\sqrt{\nu x_0}}\right)$$

3276 Llamado $\xi = \frac{x_2}{\sqrt{\nu x_0}}$ la ecuación diferencial en derivadas parciales (5.53) se transforma
3277 en la ecuación diferencial ordinaria

$$3278 \quad f'' + \frac{1}{2}\xi f' = 0$$

3279 Las condiciones de contorno se traducen en

$$3280 \quad f(0) = 1; \quad f(\xi \rightarrow \infty) = 0$$

3281 si definimos $f' = F$

$$3282 \quad \frac{dF}{d\xi} = -\frac{1}{2}\xi F$$

3283 Cuya solución es:

$$3284 \quad F(\xi) = C_1 e^{-\frac{1}{4}\xi^2}$$

¹⁷la ventaja de este método es que permite, también, resolver la solución transitoria del problema.

3285 Aplicando las condiciones de contorno y volviendo a las variables originales queda

$$3286 \quad v(x_2, x_0) = V_0 \operatorname{erfc}\left(\frac{x_2}{\sqrt{4\nu x_0}}\right). \quad (5.57)$$

3287 La funcion $\operatorname{erfc}(x)$ es la denominada funcion error complementaria que viene defi-
3288 nida por:

$$3289 \quad \operatorname{erfc}(x) = \frac{2}{\sqrt{\pi}} \int_x^{\infty} e^{-x^2} dx \quad (5.58)$$

3290 (A). ANÁLISIS

3291 5.4.2. SEGUNDO PROBLEMA DE STOKES: PLANO OSCILANTE EN 3292 CONTACTO CON UN FLUIDO SEMI-INFINITO

3293 Consideremos el problema de la sección anterior, pero con un movimiento distinto
3294 del plano, en este caso el plano está oscilando con una velocidad que viene dada
3295 por:

$$3296 \quad U = U_0 \cos(\omega x_0)$$

3297 No estamos interesados en estudiar el arranque del plano sino el equivalente del
3298 estado estacionario, que en este caso se denomina estado de régimen, en el cual
3299 todo el movimiento ocurre con la misma pulsación que la de la excitación. Si supo-
3300 nemos un flujo laminar, la ecuación que rige el campo de velocidades es la (5.53)
3301 con las condiciones de contorno:

$$3302 \quad v_1(0, x_0) = U_0 \cos(\omega x_0), \quad (5.59)$$

$$3303 \quad v_1(x_2 \rightarrow \infty, x_0) = 0. \quad (5.60)$$

3305 A diferencia del primer problema de Stokes, en este caso hay una escala para los
3306 tiempos y por lo tanto la variable espacial y la temporal aparecerán independientes.
3307 Haremos el escalado siguiente

$$3308 \quad x_0 = \frac{t}{\omega}; \quad v_1 = U_0 v; \quad x_2 = \sqrt{\frac{\mu}{\rho \omega}} y. \quad (5.61)$$

3309 Quedando por resolver la ecuación

$$3310 \quad \frac{\partial v}{\partial t} = \frac{\partial^2 v}{\partial y^2}$$

$$3311 \quad v(y = 0, t) = \cos(t)$$

$$3312 \quad v(y \rightarrow \infty, t) = 0$$

3314 Para resolverla proponemos

3315
$$v(y,t) = \operatorname{Re} (u(y)e^{it})$$

3316 quedando para $u(y)$ la siguiente ecuación

3317
$$u(y) = \frac{d^2 u}{dy^2} \quad (5.62)$$

3318
$$u(0) = 1 \quad (5.63)$$

3319
$$u(y \rightarrow \infty) = 0 \quad (5.64)$$

3320

3321 que tiene como solución que cumple las condiciones de contorno

3322
$$u(y) = e^{-\frac{(1+i)y}{\sqrt{2}}}.$$

3323 Resultando

3324
$$v(y,t) = \operatorname{Re} \left(e^{-\frac{(1+i)y}{\sqrt{2}}} e^{it} \right) = e^{-\frac{y}{\sqrt{2}}} \cos \left(t - \frac{y}{\sqrt{2}} \right)$$

3325 (A). ANÁLISIS DEL FLUJO

3326 El flujo establecido por la oscilación del plano se puede pensar como una onda
3327 viajera que se propaga en la dirección perpendicular al mismo, pero que se atenúa
3328 exponencialmente. En variables dimensionales, la pulsación de la onda es ω y su
3329 número de onda $\delta = \sqrt{\frac{\mu}{2\rho\omega}}$. Recordemos que la longitud de onda se relaciona con el
3330 número de onda mediante la relación:

3331
$$k_2 \equiv \delta = \frac{2\pi}{\lambda}$$

3332 Esto nos da idea que la distancia característica de la atenuación de la onda es del
3333 orden de su longitud de onda, es de esperar, por tanto, que la onda no penetre una
3334 gran distancia en el fluido. Esta distancia δ se denomina distancia de penetración
3335 y nos está indicando que longitud de fluido es esperable sea perturbada por el
3336 movimiento del plano.

3337 En la figura 5.17 se presenta la evolución espacio temporal del campo de veloci-
3338 dades para el 2do problema de Stokes. Se observa claramente que los elementos
3339 de fluido que están cerca del plano oscilan con amplitud decreciente, pero los que
3340 se encuentran más allá de $y \approx 4$ casi no se desplazan. En el plano vy de la misma
3341 figura se observan los perfiles de velocidad como función de la posición y para dis-
3342 tintos tiempos adimensionales ($t = 0, \pi/2, 3\pi/2$ y 2π). Es notable encontrarnos que,
3343 en todo instante, el máximo de la velocidad no se encuentra sobre el plano sólido,
3344 sino que para algunos instantes de tiempo este ocurre dentro del fluido. Este es un

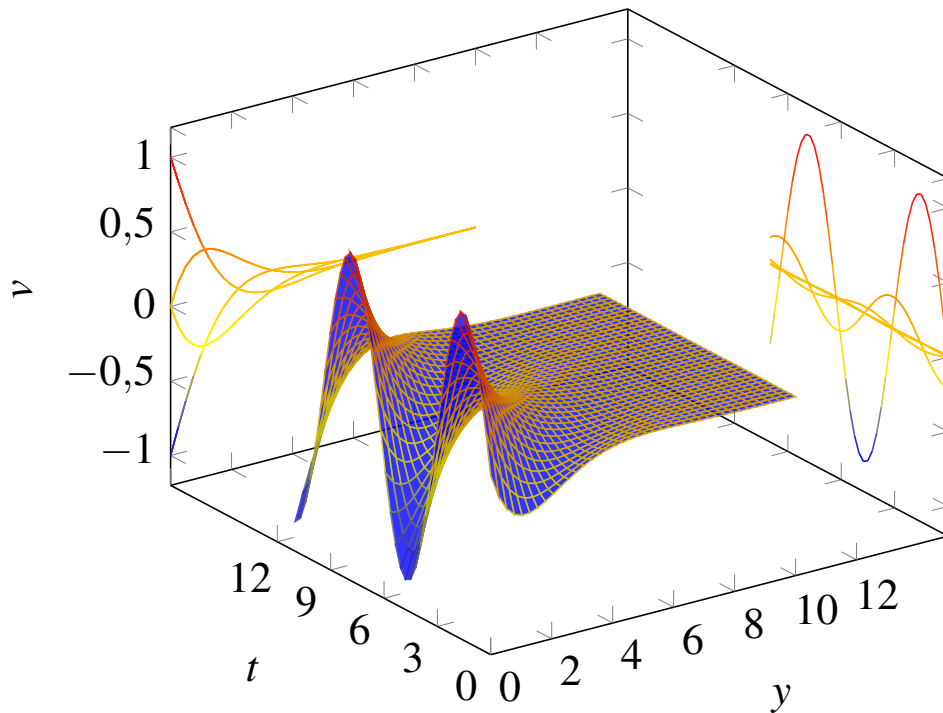


Figura 5.17.: Evolución espacio temporal del perfil de velocidades para el segundo problema de Stokes.

fenómeno típico de los sistemas difusivos donde la cantidad que difunde es variable en el tiempo. En el plano vt se observa la velocidad como función del tiempo para cuatro posiciones adimensionales ($y = 0, 3, 6, 9$). Se puede ver que la oscilación es armónica pero con una amplitud, efecto de la atenuación que disminuye cuanto más nos internamos en el fluido, aparece también un desfase entre la velocidad de los elementos pegados al plano oscilante y los más interiores.

El esfuerzo cortante s que el sólido le hace al fluido vendrá dado por

$$s = - \left. \frac{dv}{dy} \right|_{y=0} = \cos\left(t - \frac{\pi}{4}\right)$$

Inmediatamente observamos que el esfuerzo sobre el plano y su velocidad están desfazados, por lo tanto en un ciclo completo el plano entrega al sistema fluido una cierta energía, que este disipa en una región que se extiende perpendicularmente una distancia del orden de δ hacia adentro del fluido. En efecto, la potencia instantánea que entrega el plano al fluido será

$$P_w(t) = \cos\left(t - \frac{\pi}{4}\right) \cos(t)$$

3359 cuyo promedio temporal viene dado por:

$$3360 \quad P_w = \frac{1}{2\pi} \int_0^{2\pi} P_w(t) dt = -\frac{1}{2\sqrt{2}}$$

3361 El signo menos significa que la energía es transferida al fluido. La energía que
3362 disipa el fluido por unidad de volumen y de tiempo está relacionada con la función
3363 disipación, que para este problema viene dada por

$$3364 \quad \Phi(y, t) = \left(\frac{\partial v}{\partial y} \right)^2 = 2e^{-\frac{y}{\sqrt{2}}} \sin^2 \left(t - \frac{y}{\sqrt{2}} - \frac{\pi}{4} \right)$$

3365 La Potencia que se disipa en todo el volumen de fluido se calcula como:

$$3366 \quad P_f(t) = \int_0^\infty \Phi(y, t) dy = \frac{1}{2\sqrt{2}} \left(1 - \frac{1}{\sqrt{2}} \sin \left(t - \frac{\pi}{4} \right) \right)$$

3367 Promediando temporalmente se llega a que:

$$3368 \quad P_f = \frac{1}{2\sqrt{2}}.$$

3369 Por lo tanto llegamos a la conclusión que toda la energía que recibe el fluido del
3370 plano en un período de oscilación, la disipa con lo cual su energía media permanece
3371 constante, no así la instantánea. Este tipo de movimiento que no es estacionario,
3372 pero las variables permanecen constantes en valor medio, recibe el nombre de flujos
3373 pulsantes. La energía que se disipa genera un aumento local de temperatura en el
3374 fluido, con lo cual se producen flujos de calor internos que son “grandes” pueden
3375 romper la hipótesis de fluido isotérmico, mas adelante analizaremos este caso.

3376 **5.4.3. TRANSITORIO DE UN FLUJO ISOTÉRMICO DE COUETTE-POISEUILLE** 3377 **CON VELOCIDAD DE PLACA Y GRADIENTE DE PRESIÓN CONTANTE**

3378 En esta sección estudiaremos esencialmente el transitorio que ocurre desde que se
3379 aplican las causas del movimiento en un flujo de Couette-Poiseuille del tipo que
3380 se estudió en la sección (a). Las ecuaciones que rigen el problema, condiciones
3381 de contorno e iniciales, escritas en términos dimensionales, para un flujo laminar
3382 serán:

$$3383 \quad \rho \frac{\partial v_1}{\partial t} = -\frac{\partial p}{\partial x_1} + \mu \frac{\partial^2 v_1}{\partial x_2^2}, \quad (5.65)$$

$$3384 \quad v_1(x_2 = 0, t) = 0 \quad v_1(x_2 = +d, t) = U, \quad (5.66)$$

$$3385 \quad v_1(x_2, t = 0) = 0. \quad (5.67)$$

Notemos que, para simplificar la matemática posterior hemos cambiado el sistema de coordenadas utilizado, en este caso, el cero de la coordenada x_2 se encuentra sobre el plano fijo, y al ancho del canal se lo nota con la letra d . También hemos agrupado los efectos del gradiente de presión y de las fuerzas de volumen en el término $\frac{\partial \mathbb{P}}{\partial x_1} = \frac{\partial p}{\partial x_1} - \rho g_i x_i$. Con escalado habitual más el agregado del escado temporal

$$\tau = \frac{1}{Re} \frac{tu^*}{d} \quad y = \frac{x_2}{d} \quad (5.68)$$

$$u = \frac{v_2}{u^*} \quad \frac{\partial \mathcal{P}}{\partial x} = \frac{\Delta \mathbb{P}}{L} \frac{\partial \mathbb{P}}{\partial x_1}. \quad (5.69)$$

La ecuación adimensional resulta:

$$\frac{\partial u}{\partial \tau} = -\mathcal{P}_0 + \frac{\partial^2 u}{\partial y^2}, \quad (5.70)$$

$$u(y=0, \tau) = 0 \quad u(y=+1, \tau) = \mathcal{U}, \quad (5.71)$$

$$u(y, \tau=0) = 0. \quad (5.72)$$

La solución de este sistema comienza con la separación de la función $u(y, \tau)$ como suma de dos

$$u(y, \tau) = u_e(y) + u_t(y, \tau).$$

$u_e(y)$ representa la solución estacionaria del problema mientras que la $u_t(y, \tau)$ representa la parte transitoria. Las ecuaciones y condiciones de contorno asociadas con esta descomposición serán:

$$0 = -\mathcal{P}_0 + \frac{\partial^2 u_e}{\partial y^2}, \quad (5.73)$$

$$\frac{\partial u_t}{\partial \tau} = \frac{\partial^2 u_t}{\partial y^2}, \quad (5.74)$$

$$u_e(y=-1) = 0 \quad u_e(y=+1) = \mathcal{U}, \quad (5.75)$$

$$u_t(y=-1, \tau) = 0 \quad u_t(y=+1, \tau) = 0, \quad (5.76)$$

$$u_t(y, \tau=0) + u_e(y) = 0. \quad (5.77)$$

Notemos que la suma de (5.73) con (5.74) resulta (5.70) y lo mismo ocurre con las condiciones de contorno. La componente $u_e(y)$ se denomina estacionaria, y corresponde justamente a la solución encontrada antes, es decir

$$u_e(y) = \frac{\mathcal{P}_0}{2} y^2 + \left(\mathcal{U} - \frac{\mathcal{P}_0}{2} \right) y.$$

Para resolver la ecuación (5.74) proponemos la siguiente factorización:

$$u_t(y, \tau) = Y(y)T(\tau),$$

3418 que reemplazada en (5.74) y luego de ordenar resulta:

$$3419 \quad \frac{1}{T} \frac{\partial T}{\partial \tau} = \frac{1}{Y} \frac{\partial^2 Y}{\partial y^2},$$

3420 para que se verifique esta igualdad para cualquier valor de y e instante de tiempo τ
3421 necesariamente debe cumplirse que:

$$3422 \quad \frac{1}{T} \frac{\partial T}{\partial \tau} = -\lambda^2, \quad (5.78)$$

$$3423 \quad \frac{1}{Y} \frac{\partial^2 Y}{\partial y^2} = -\lambda^2. \quad (5.79)$$

3424
3425 Donde λ recibe el nombre de constante de desacople y deberá ser determinada a
3426 partir de las condiciones de contorno e iniciales. La solución de (5.78) da para la
3427 función:

$$3428 \quad T(\tau) = C_1 e^{-\lambda^2 \tau},$$

$$3429 \quad Y(y) = C_2 \operatorname{sen}(\lambda y) + C_3 \cos(\lambda y).$$

3431 Con lo cual resulta queda

$$3432 \quad u_t(y, \tau) = e^{-\lambda^2 \tau} (A \operatorname{sen}(\lambda y) + B \cos(\lambda y))$$

3433 Con A, B a determinar a partir de las condiciones de contorno e iniciales del proble-
3434 ma. Las condiciones de contorno establecen que:

$$3435 \quad 0 = e^{-\lambda^2 \tau} (A \operatorname{sen}(\lambda 0) + B \cos(\lambda 0)),$$

$$3436 \quad 0 = e^{-\lambda^2 \tau} (A \operatorname{sen}(-\lambda) + B \cos(-\lambda)).$$

3438 Inmediatamente vemos que necesariamente $B \equiv 0$ y que $\operatorname{sen}(\lambda) = 0$ o lo que es lo
3439 mismo $\lambda = n\pi$; con n entero. La solución se escribirá como una serie de senos:

$$3440 \quad u_t(y, \tau) = \sum_{n=1}^{\infty} A_n e^{-(n\pi)^2 \tau} \operatorname{sen}(n\pi y).$$

3441 Para hallar el valor de los coeficientes A_n recurrimos a la condición inicial (ecuación
3442 (5.77))

$$3443 \quad u_t(y, 0) + u_e(y) = \sum_{n=1}^{\infty} A_n \operatorname{sen}(n\pi y) + u_e(y) = 0.$$

3444 Con lo cual resulta que los coeficientes buscados A_n son los coeficientes del desa-
3445 rrollo de Fourier en senos de la solución estacionaria cambiados de signo:

$$3446 \quad \sum_{n=0}^{\infty} A_n \operatorname{sen}(n\pi y) = -\frac{\mathcal{P}_0}{2} y^2 - \left(\mathcal{U} - \frac{\mathcal{P}_0}{2} \right) y.$$

3447 Para hallar el valor de los A_n multiplicamos por $\sin(m\pi y)$ e integramos entre 0 y 1,
 3448 resultando

$$\begin{aligned} \sum_{n=1}^{\infty} A_n \int_0^1 \sin(n\pi y) \sin(m\pi y) dy &= - \int_0^1 \sin(m\pi y) \frac{\mathcal{P}_0}{2} y^2 dy \\ &- \int_0^1 \sin(m\pi y) \left(\mathcal{U} - \frac{\mathcal{P}_0}{2} \right) y dy. \end{aligned}$$

3450 Si tenemos en cuenta que

$$\int_0^1 \sin(n\pi y) \sin(m\pi y) dy = \frac{1}{2} \delta_{nm}.$$

3452 Resulta que:

$$A_n = \mathcal{P}_0 \left[\frac{(-1)^n}{n\pi} + \frac{2}{(n\pi)^3} (1 - (-1)^n) \right] + 2 \left(\mathcal{U} - \frac{\mathcal{P}_0}{2} \right) \frac{(-1)^n}{n\pi}.$$

3454 En la figura se presentan los perfiles de temperatura obtenidos para un flujo de
 3455 Couette–Poiseuille con parametros $\mathcal{P}_0 = -5$, $\mathcal{U} = 1$ para distintos tiempos adimen-
 cionales $t = 0,001; 0,010; 0,050; 0,100; \infty$.

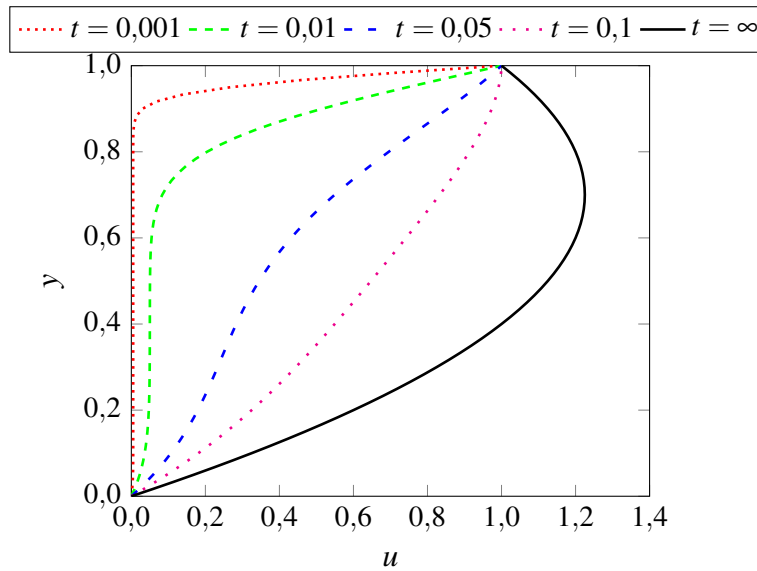


Figura 5.18.: Perfil de velocidad poara distintos instantes de tiempo adimensional. $\mathcal{P}_0 = -5$, $\mathcal{U} = 1$.

3457 **(A). ANÁLISIS DEL FLUJO TRANSITORIO**

3458 De lo expuesto podemos decir que el perfil de velocidades queda determinado por
 3459 los parámetros \mathcal{P}_0 y \mathcal{U} , ya que el número de reynolds sólo aparece como una
 3460 escala temporal, es decir fija en cuanto tiempo se llega a la solución estacionaria.
 3461 En efecto, si pensamos a la solución transitoria como una suma de armónicos,
 3462 vemos que cada uno se atenúa con una constante de tiempo proporcional a $(n\pi)^{-2}$,
 3463 con lo cual los de alto orden desaparecen rápidamente.

3464 **5.4.4. FLUJOS POISEUILLE CON GRADIENTE DE PRESIÓN PULSANTES.**

3465 Como primer problema estudiaremos el movimiento armónico de un plano que está
 3466 en contacto con un fluido semi infinito. El plano tiene una velocidad que vendrá
 3467 dada por una función del tipo:

$$3468 \quad U(x_0) = U_0 \cos(\omega x_0)$$

3469 Este tipo de flujos tiene importancia tanto en la mecánica del automotor, como así
 3470 también la medicina, en efecto, un flujo se llamará pulsante cuando es generado
 3471 por un gradiente de presión que varía periódicamente en el tiempo de manera tal
 3472 que se pueda escribir en serie de senos y cosenos

$$3473 \quad \frac{\partial p}{\partial x_1} = \sum_{n=0} [G'_n e^{i\omega x_0}]$$

3474 **5.5. FLUJOS CON DISIPACIÓN.**3475 **5.5.1. FLUJO DE COUETTE-POISEUILLE CON DISIPACIÓN.**

3476 Estudiaremos ahora el efecto que la disipación tiene sobre la distribución de tem-
 3477 peraturas, dejando para más adelante el efecto que el campo de temperatura tiene
 3478 sobre la dinámica del fluido, en otras palabras, supondremos que en el flujo la
 3479 disipación es importante pero que las propiedades del fluido (la viscosidad y den-
 3480 sidad) no se ven afectadas por este cambio; de manera que estudiaremos el flujo
 3481 incompresible y de un fluido newtoniano que ocupa el volumen entre dos placas
 3482 planas paralelas separadas una distancia $2h$ y dispuestas horizontalmente, de ma-
 3483 nera que sobre el fluido no actúan fuerzas de volumen que causen su movimiento.
 3484 El movimiento del fluido se generará por el movimiento de la placa superior y/o
 3485 por la presencia de un gradiente de presión externo. busquemos soluciones en ré-
 3486 gimen laminar, la ecuación de Navier Stokes con sus respectivas condiciones de

contorno ya se presentaron en las ecuaciones (5.3a)–(5.4b) o su versión adimensional (5.5a)–(5.5d). A este sistema se deberá agregar la ecuación de la energía, con las condiciones de contorno que correspondan:

$$\begin{aligned} k \frac{\partial^2 T}{\partial x_2^2} + \mu \left(\frac{\partial u}{\partial x_2} \right)^2 &= 0. \\ u(x_2 = +h) &= U \quad u(x_2 = -h) = 0, \\ T(x_2 = +h) &= T_1 \quad T(x_2 = -h) = T_0. \end{aligned}$$

Antes de encarar la solución del problema escalado de las variables intervinientes siguiendo las transformaciones presentadas en (5.2) agregando el escalado de la temperatura:

$$\theta = \frac{T - T_b}{T_1 - T_b}. \quad (5.80)$$

donde T_b es una temperatura de referencia que más adelante discutiremos en detalle. Para la velocidad u y la coordenada y utilizamos la adimensionalización habitual:

$$u = \frac{v_1}{u^*}, \quad y = \frac{x_2}{h}$$

Las ecuaciones a resolver, con sus respectivas condiciones de contorno resultan

$$\begin{aligned} \frac{\partial^2 u}{\partial y^2} &= 0, \\ \frac{\partial^2 \theta}{\partial y^2} + Br \left(\frac{\partial u}{\partial y} \right)^2 &= 0, \\ u(y = -1) &= 0, \quad u(y = 1) = \mathcal{U}, \\ \theta(y = -1) &= \beta, \quad \theta(y = 1) = 1. \end{aligned}$$

En este escalado aparece el número de Brinkman $Br = \frac{\mu u^{*2}}{k(T_1 - T_b)}$ el cual marca la importancia de la disipación: si $Br \ll 1$ el sistema dependerá levemente de ella quedando, para la temperatura, un perfil lineal. El número adimensional β contiene información de las temperaturas de las placas y la temperatura de referencia (notemos que si se toma $T_b = T_0$ resulta que $\beta = 0$). Si las propiedades del fluido son independientes de la temperatura, la elección de T_b , es arbitraria, sin embargo se torna crítica su elección, en la evaluación de varios parámetros (ver por ejemplo **Kay2016**). En lo que sigue utilizaremos que $T_b = T_0$ ya que los parámetros físicos y el álgebra involucrada resulta más fáciles de tratar. Las ecuaciones que resultan no están acopladas, la temperatura no interviene en la ecuación hidrodinámica, por lo tanto su solución, teniendo en cuenta las condiciones de contorno para \mathcal{U} , resulta

la solución presentada en la (5.7):

$$u(y) = \frac{\mathcal{P}o}{2}y^2 + \frac{\mathcal{U}}{2}y + \frac{\mathcal{U} - \mathcal{P}o}{2},$$

Y la ecuación de la energía se transforma en:

$$\frac{\partial^2 \theta}{\partial y^2} = -Br \left(\mathcal{P}o y + \frac{\mathcal{U}}{2} \right)^2.$$

Cuya solución general es:

$$\theta(y) = -Br \left(\frac{\mathcal{P}o^2}{12}y^4 + \frac{\mathcal{P}o\mathcal{U}}{6}y^3 + \frac{\mathcal{U}^2}{8}y^2 \right) + C_1y + C_2,$$

implementando las condiciones de contorno impuestas resulta:

$$0 = -Br \left(\frac{\mathcal{P}o^2}{12} - \frac{\mathcal{P}o\mathcal{U}}{6} + \frac{\mathcal{U}^2}{8} \right) - C_1 + C_2,$$

$$1 = -Br \left(\frac{\mathcal{P}o^2}{12} + \frac{\mathcal{P}o\mathcal{U}}{6} + \frac{\mathcal{U}^2}{8} \right) + C_1 + C_2.$$

Resolviendo para C_1 y C_2 resulta:

$$C_1 = \frac{Br\mathcal{P}o\mathcal{U}}{6} + \frac{1}{2}, \quad C_2 = \frac{Br\mathcal{P}o^2}{12} + \frac{Br\mathcal{U}^2}{8} + \frac{1}{2}.$$

Con lo cual se obtiene para la temperatura adimensional:

$$\begin{aligned} \theta(y) = & -\frac{Br\mathcal{P}o^2}{12}y^4 - \frac{Br\mathcal{P}o\mathcal{U}}{6}y^3 - \frac{Br\mathcal{U}^2}{8}y^2 + \\ & + \left(\frac{Br\mathcal{P}o\mathcal{U}}{6} + \frac{1}{2} \right)y + \frac{Br\mathcal{P}o^2}{12} + \frac{Br\mathcal{U}^2}{8} + \frac{1}{2}. \end{aligned} \quad (5.81)$$

Esta expresión se puede reordenar para su mejor análisis como:

$$\begin{aligned} \theta(y) = & \frac{1+y}{2} + (1-y^2)\frac{Br}{24} \left(\mathcal{P}o y^2 + \mathcal{P}o(2\mathcal{U} + \mathcal{P}o - 2)y \right. \\ & \left. + \frac{3}{2}\mathcal{U} + \mathcal{P}o^2 + \mathcal{P}o \right). \end{aligned} \quad (5.82)$$

Vemos que el efecto de la disipación, representado por el número Br es el de deformar el perfil lineal de temperatura, generado en el caso de disipación nula. También se observa que para un cierto valor en adelante del número Br , que la temperatura en el fluido, sea mayor que el de la placa más caliente; En efecto, la transferencia de calor desde o hacia la placa más caliente es proporcional al gradiente de temperatura sobre la misma, la transferencia cambia de sentido cuando el mencionado

gradiente se anula. Derivando la ecuación (5.81) respecto de y obtenemos:

$$\frac{d\theta}{dy} = -Br \left(\frac{\mathcal{P}o^2}{3} y^3 + \frac{\mathcal{P}o\mathcal{U}}{3} y^2 + \frac{\mathcal{U}^2}{4} y - \frac{\mathcal{P}o\mathcal{U}}{6} \right) + \frac{1}{2}. \quad (5.83)$$

Evaluando esta derivada sobre la placa superior $y = 1$ y la inferior $y = -1$ resultan las ecuaciones

$$\left. \frac{d\theta}{dy} \right|_{y=+1} = -Br \left(\frac{\mathcal{P}o^2}{3} + \frac{\mathcal{P}o\mathcal{U}}{3} + \frac{\mathcal{U}^2}{4} - \frac{\mathcal{P}o\mathcal{U}}{6} \right) + \frac{1}{2}. \quad (5.84)$$

$$\left. \frac{d\theta}{dy} \right|_{y=-1} = -Br \left(-\frac{\mathcal{P}o^2}{3} + \frac{\mathcal{P}o\mathcal{U}}{3} - \frac{\mathcal{U}^2}{4} - \frac{\mathcal{P}o\mathcal{U}}{6} \right) + \frac{1}{2}. \quad (5.85)$$

El flujo de calor, sobre la correspondiente placa será nulo cuando la derivada se anule, con lo que resultan los números de Br limites

$$\mathcal{B}r_{L^+} = \frac{3}{2 \left(\mathcal{P}o + \frac{\mathcal{U}}{2} \right)^2 + \mathcal{U}^2}.$$

$$\mathcal{B}r_{L^-} = -\frac{3}{2 \left(\mathcal{P}o - \frac{\mathcal{U}}{2} \right)^2 + \mathcal{U}^2}.$$

El flujo de calor en la placa inferior se hace nulo, para un Br negativo, lo cual significa que $T_0 > T_1$. Si $Br > \mathcal{B}r_L$ el perfil de temperatura tendrá un máximo en seno del fluido que se desplaza hacia la placa inferior. Si fijamos los parámetros hidrodinámicos del flujo ($\mathcal{P}o$ y \mathcal{U}) la posición del máximo de temperatura queda determinada por la diferencia de temperatura entre las placas. por lo tanto, al variarla se podrá modificar su posición. Por ejemplo si $\mathcal{P}o = -5$ y $\mathcal{U} = 1$ con $T_1 > T_0$ habrá un máximo interno de temperatura si $Br > 0,072$ y si $T_1 < T_0$ para $Br < 0,049$. En la figura ?? se presentan varios perfiles para el caso $T_1 > T_0$.

En cálculos prácticos se establece que el flujo de calor a través de una superficie se calcula como:

$$q = h_c(T_s - T_b) = k \left. \frac{\partial T}{\partial y} \right|_S$$

El subíndice S denota la posición temperatura de la superficie donde se quiere evaluar el flujo y T_b es la temperatura de mezcla en baso abierto. Antes de continuar con el análisis debemos encontrar una expresión para la temperatura T_b . Si bien estaríamos libres de elegir cualquier valor para la temperatura T_b , lo usual en la literatura es definirla, para el cálculo de q como el promedio pesado con la energía

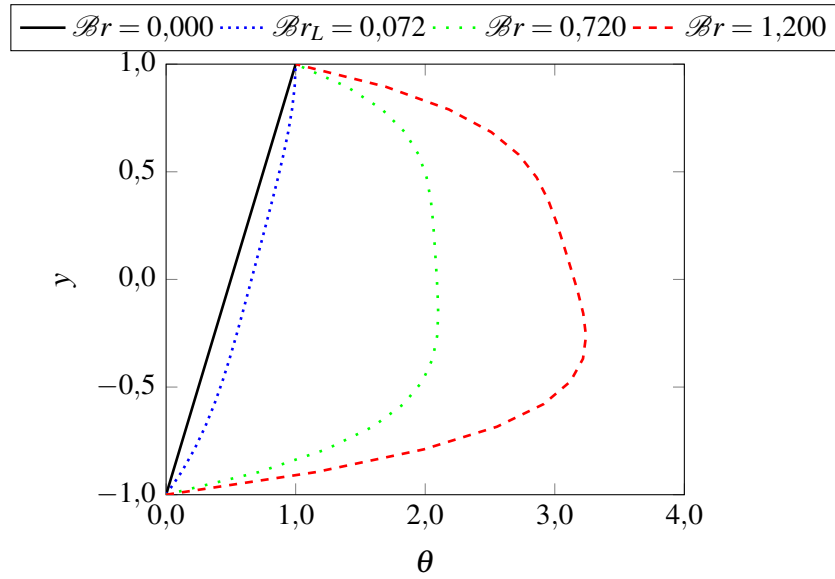


Figura 5.19.: Distribución de temperatura en el seno del fluido para un flujo de Couette–Poiseuille con parámetros $\mathcal{P}_0 = -5$, $\mathcal{U} = 1$ y varios valores del número de Brinkman: 0,0 sin disipación y 0,072, 0,720, 1,200.

3572 en la sección, es decir:

$$3573 \quad T_b = \frac{\int_{-h}^{+h} \rho c_p v_1(x_2) T(x_2) dx_2}{\int_{-h}^{+h} \rho c_p v_1(x_2) dx_2}$$

3574 En esta expresión, el numerador representa el flujo de energía interna a través de
 3575 la sección del canal, y el denominador, el flujo másico multiplicado por el calor es-
 3576 pecífico. En casos donde los cambios de la densidad y el calor específico se pueden
 3577 despreciar, (como es el caso que nos ocupa) el cálculo de la temperatura de mezcla
 3578 se torna en:

$$3579 \quad T_b = \frac{\int_{-h}^{+h} v_1(x_2) T(x_2) dx_2}{\int_{-h}^{+h} v_1(x_2) dx_2}$$

3580 Pasando a variables adimensionales quedaría que:

$$3581 \quad \theta_b = \frac{\int_{-1}^{+1} u(y) \theta(y) dy}{\int_{-1}^{+1} u(y) dy}$$

3582 El valor de θ_b resulta:

$$3583 \quad \theta_b = Br \frac{\left(\frac{1}{4}\mathcal{U}^3 - \frac{2}{15}\mathcal{P}_0\mathcal{U}^2 + \frac{1}{5}\mathcal{P}_0^2\mathcal{U} - \frac{16}{105}\mathcal{P}_0^3\right)}{3\mathcal{U} - 2\mathcal{P}_0} - \frac{\mathcal{U} - \mathcal{P}_0}{3\mathcal{U} - 2\mathcal{P}_0} + 1$$

APÉNDICES

5A.I. FUJOS DE FLUIDOS NO NEWTONIANOS

Cada vez m'as los fluidos no newtonianos tienen interes práctico

(A). FLUJO ISOTÉRMICO DE UNA PELÍCULA FLUIDA SOBRE UN PLANO INCLINADO PARA UN FLUIDO CON REOLOGÍA LEY DE POTENCIAS

(B). FLUJO ISOTÉRMICO DE HAGEN-POISEUILLE PARA UNA REOLOGÍA LEY DE POTENCIAS

5A.II. TEORÍA DE LA LUBRICACIÓN

Ver BATCHELOR— El objetivo de la lubricación es reducir la fricción, el desgaste y el calentamiento de las superficies en una maquinaria que están en movimiento relativo entre sí. Para ello se hace circular un fluido viscoso que comúnmente se denomina lubricante el cual, cuando es insertado entre dos superficies móviles, cumple con estos propósitos. En esta sección trataremos lo que se conoce como lubricación hidrodinámica dejando otro tipos de teorías para materias específicas

La interacción entre el lubricante y las superficies sólidas genera una fuerza que puede descomponerse en dos componentes, una de sustentación y otra de arrastre, si el huelgo por el que circula el lubricante es lo suficientemente delgado, la componente de arrastre puede considerarse despreciable quedando sólo la de sustentación que es la relevante. En esta sección estudiaremos el movimiento de un fluido viscoso que es impulsado por un canal convergente. Como resultado de este movimiento, en el flujo se genera un campo de presiones que bajo ciertas condiciones permite soportar grandes cargas con lo cual impide el contacto entre superficies sólidas reduciendo así su desgaste. Esta teoría fue desarrollada por Petroff para cilindros coaxiales concéntricos en 1883 y ampliada por Reynolds en 1886 para geometría plana, por Sommerfeld en 1904 para el caso de dos cilindros coaxiales excéntricos. Esta teoría se denomina, también, de lubricación hidrodinámica. Presentaremos aquí el modelo de Reynolds que muestra lo importante del tema dejando la matemática lo más simple posible.

Consideremos un problema bidimensional en el que se tiene una superficie sólida fija y otra móvil, como se muestra en la figura 5.20. Las superficies fija se la considerará plana mientras que la móvil está definida por una ecuación $x_3 = h(x_1, x_2, t)$, en el plano x_1, x_2 hay una distancia característica L que es mucho mayor que la separación media de las superficies¹⁸.

¹⁸Si bien en este desarrollo suponemos que la móvil es material, su carácter no interviene en el

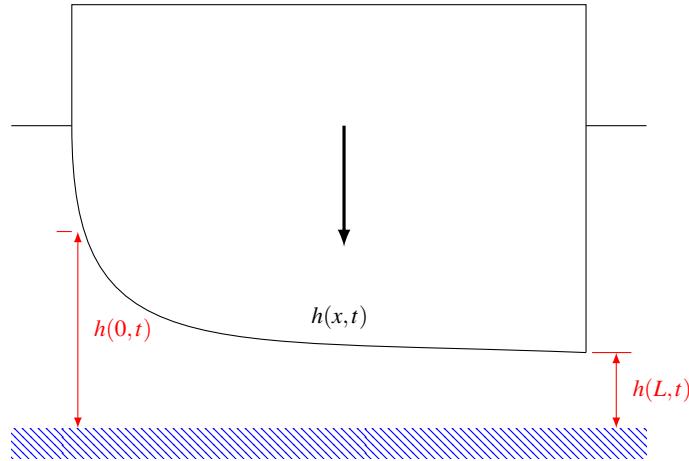


Figura 5.20.: Esquema del deslizador

Propongamos un campo de velocidades

$$\vec{v} = v_1(x_1, x_2, t)\hat{e}_1 + v_2(x_1, x_2, t)\hat{e}_2 + v_3(x_1, x_2, t)\hat{e}_3$$

Si planteamos la hipótesis de flujo incompresible, isotérmico, y fluido newtoniano, las ecuaciones que rigen el fenómeno son:

$$\frac{\partial v_1}{\partial x_1} + \frac{\partial v_2}{\partial x_2} + \frac{\partial v_3}{\partial x_3} = 0 \quad (5A.II.1a)$$

$$\rho \left(\frac{\partial v_1}{\partial t'} + v_1 \frac{\partial v_1}{\partial x_1} + v_2 \frac{\partial v_1}{\partial x_2} + v_3 \frac{\partial v_1}{\partial x_3} \right) = -\frac{\partial p}{\partial x_1} + \mu \left(\frac{\partial^2 v_1}{\partial x_1^2} + \frac{\partial^2 v_1}{\partial x_2^2} + \frac{\partial^2 v_1}{\partial x_3^2} \right) + f_{v1} \quad (5A.II.1b)$$

$$\rho \left(\frac{\partial v_2}{\partial t'} + v_1 \frac{\partial v_2}{\partial x_1} + v_2 \frac{\partial v_2}{\partial x_2} + v_3 \frac{\partial v_2}{\partial x_3} \right) = -\frac{\partial p}{\partial x_2} + \mu \left(\frac{\partial^2 v_2}{\partial x_1^2} + \frac{\partial^2 v_2}{\partial x_2^2} + \frac{\partial^2 v_2}{\partial x_3^2} \right) + f_{v2} \quad (5A.II.1c)$$

$$\rho \left(\frac{\partial v_3}{\partial t'} + v_1 \frac{\partial v_3}{\partial x_1} + v_2 \frac{\partial v_3}{\partial x_2} + v_3 \frac{\partial v_3}{\partial x_3} \right) = -\frac{\partial p}{\partial x_3} + \mu \left(\frac{\partial^2 v_3}{\partial x_1^2} + \frac{\partial^2 v_3}{\partial x_2^2} + \frac{\partial^2 v_3}{\partial x_3^2} \right) + f_{v3} \quad (5A.II.1d)$$

Aquí f_{vi} representa las fuerzas de volumen que actúan sobre el fluido y que consideraremos conservativas. Estas ecuaciones se deben suplementar con las condiciones de contorno que correspondan al problema a tratar. Para lo que sigue es conveniente definir la presión generalizada \mathbb{P} de manera que $\mathbb{P} = p - \rho\Phi$.

(A). ADIMENSIONALIZACIÓN DE LAS ECUACIONES

Antes de buscar una solución de las ecuaciones, comencemos por pensar que lo que ocurre en la dirección del plano y tendrá una distancia característica distinta a la que se tendrá en la dirección perpendicular, este hecho nos hace poder emplear

modelo hasta imponer las condiciones de contorno

3634 el análisis dimensional discriminado y plantear:

$$3635 \quad x_1 = L_0 x; \quad x_2 = L_0 y; \quad x_3 = h_0 z \quad v_1 = U_0 x \quad v_2 = U_0 y \quad v_3 = W_0 w \quad t' = \frac{t}{T_0}$$

3636 La escala de velocidad de la componente 3, W_0 resulta de hacer este cambio de
3637 variables en la ecuación 5A.II.1a:

$$3638 \quad \frac{U_0}{L_0} \frac{\partial u}{\partial x} + \frac{U_0}{L_0} \frac{\partial v}{\partial y} + \frac{W_0}{h_0} \frac{\partial w}{\partial z} = 0$$

3639 Resulta que obtenemos la misma ecuación de continuidad si tomamos $W_0 = \varepsilon U_0$,
3640 con $\varepsilon = \frac{h_0}{L_0}$. Si el movimiento de la superficie móvil, no tiene una característica la
3641 escala de tiempos, T_0 se puede tomar como $\frac{L_0}{U_0}$. Las escalas para la velocidad U_0 y
3642 la presión generalizada P_0 estarán asociadas con el tipo de problema a resolver, por
3643 ejemplo, si la superficie móvil es sólida y el flujo está generado por la fuerza de
3644 gravedad con un caudal Q las escalas que se toman habitualmente son:

$$3645 \quad h_0 = \sqrt{\frac{2\mu U_0}{\rho g \sin \theta}} \quad (5A.II.2)$$

3647 Con estas escalas, las ecuaciones a resolver quedan:

$$3648 \quad \frac{\partial u}{\partial x} + \frac{\partial v}{\partial y} + \frac{\partial w}{\partial z} = 0 \quad (5A.II.3a)$$

$$3649 \quad \varepsilon \mathcal{R}e \left(u \frac{\partial u}{\partial x} + v \frac{\partial v}{\partial y} \right) = -\frac{\partial \mathcal{P}}{\partial x} + \varepsilon^2 \frac{\partial^2 u}{\partial x^2} + \frac{\partial^2 u}{\partial y^2} \quad (5A.II.3b)$$

$$3650 \quad \varepsilon^3 \mathcal{R}e \left(u \frac{\partial v}{\partial x} + v \frac{\partial v}{\partial y} \right) = -\frac{\partial \mathcal{P}}{\partial y} + \varepsilon^4 \frac{\partial^2 v}{\partial x^2} + \varepsilon \frac{\partial^2 v}{\partial y^2} \quad (5A.II.3c)$$

3652 Estas ecuaciones conforman la llamada teoría de la lubricación. Es conveniente
3653 Para hallar una solución a ellas haremos la hipótesis de que $\varepsilon \ll 1$ con lo cual
3654 los términos convectivos en las ecuaciones 5A.II.3b y 5A.II.3c desaparecen como así
3655 también las derivadas segundas espaciales de u y la derivada segunda respecto de
3656 y de v .

$$3657 \quad -\frac{\partial \mathcal{P}}{\partial x} + \frac{\partial^2 u}{\partial y^2} = 0 \quad (5A.II.4a)$$

$$3658 \quad -\frac{\partial \mathcal{P}}{\partial y} = 0 \quad (5A.II.4b)$$

3660 La ecuación 5A.II.4b nos indica que en la dirección 2 el campo de presiones gene-
3661 ralizado es hidrostático y que éste es solo función de la coordenada x , con lo cual la

3662 integración de la ecuación 5A.II.4a resulta inmediata:

$$3663 \quad u(x, y) = \frac{1}{2} \frac{\partial \mathcal{P}}{\partial x} y^2 + C_1 y + C_2$$

3664 El valor de C_1 y C_2 se obtienen de aplicar las condiciones de contorno: $u(x, y=0) = 1$,
 3665 $u(x, y=h(x)) = 0$ o resulta que $C_2 = 1$ y $C_1 = -\frac{1}{2} \frac{\partial \mathcal{P}}{\partial x} h - \frac{1}{h}$. La función $h(x)$ no es otra
 3666 cosa que la expresión de la superficie plana que está por sobre el plano móvil
 3667 $h(x) = H - \tan \alpha x$. Para hallar el valor de $\frac{\partial \mathcal{P}}{\partial x}$ tenemos presente que al ser el flujo
 3668 incompresible el caudal volumétrico \mathcal{Q} es constante, entonces:

$$3669 \quad \mathcal{Q} = \int_0^{h(x)} u(y) dy,$$

3670 resultando

$$3671 \quad \mathcal{Q} = -\frac{1}{12} \frac{\partial \mathcal{P}}{\partial x} h^3 + \frac{1}{2} h.$$

3672 Derivando respecto a x queda la denominada ecuación de Reynolds de la lubrica-
 3673 ción.

$$3674 \quad \frac{\partial}{\partial x} \left(-\frac{1}{12} \frac{\partial \mathcal{P}}{\partial x} h^3 + \frac{1}{2} h \right) = 0,$$

3675 y llegamos a una ecuación diferencial para \mathcal{P} conocida la forma de la superficie
 3676 superior $h(x)$.

$$3677 \quad \mathcal{P}(x) = C_2 + 6 \left[\int_0^x \frac{dx}{h^2} - C_1 \int_0^x \frac{dx}{h^3} \right]$$

3678 Teniendo en cuenta que $\mathcal{P}(0) = \mathcal{P}_1$ y que $\mathcal{P}(1) = \mathcal{P}_2$ resulta que:

$$3679 \quad \mathcal{P}(x) = \mathcal{P}_1 + 6 \int_0^x \frac{dx}{h^2} - \left[\frac{\mathcal{P}_2 - \mathcal{P}_1}{\frac{\int_0^1 dx/h^3}{\int_0^1 dx/h^2}} + 6 \frac{\int_0^1 dx/h^2}{\int_0^1 dx/h^3} \right] \int_0^x \frac{dx}{h^3}$$

3680 **5A.III. DIFUSIÓN DEL CALOR EN MEDIOS SÓLIDOS UNIDIMENSIONALES**

3681 **5A.IV. CONVECCIÓN NATURAL ENTRE PLACAS VERTICALES**

